

Гилицкая Л.Н.

**ТЕОРЕТИЧЕСКИЕ
ОСНОВЫ
ЭЛЕКТРОТЕХНИКИ**

Курсовое проектирование

**Минск
1997**

МИНИСТЕРСТВО ОБРАЗОВАНИЯ РЕСПУБЛИКИ БЕЛАРУСЬ
РЕСПУБЛИКАНСКИЙ ИНСТИТУТ ПРОФЕССИОНАЛЬНОГО
ОБРАЗОВАНИЯ

Гилицкая Л. Н.

ТЕОРЕТИЧЕСКИЕ ОСНОВЫ ЭЛЕКТРОТЕХНИКИ

КУРСОВОЕ ПРОЕКТИРОВАНИЕ

Рекомендовано Научно-методическим центром
учебной книги и средств обучения Министерства
образования Республики Беларусь в качестве
учебно-методического пособия для учащихся
средних специальных учебных заведений по
специальностям электротехнического профиля

Минск
1997

УДК 621.3(075.32)

ББК 31.21

Г47

Рецензенты:

Л. И. Сончик, зав. кафедрой ТОЭ Белорусской государственной политехнической академии, доц., канд. техн. наук; **В. И. Можар**, зав. отделом повышения квалификации преподавателей вузов, доц. кафедры ТОЭ Белорусской государственной политехнической академии, канд. техн. наук;
Э. Е. Чипинский, начальник учебно-методического отдела Республиканского института профессионального образования; **Л. П. Шевелева**, председатель цикловой комиссии Могилевского политехникума

Рекомендовано к изданию экспертным советом Республиканского института профессионального образования

Гилицкая Л. Н.

Г47 Теоретические основы электротехники. Курсовое проектирование. – Мн.: РИПО, 1997. – 67 с.

ISBN 985-6079-36-5

В пособии приведены многовариантные задания для курсового проектирования по предмету "Теоретические основы электротехники" и основные методики расчета электрических цепей постоянного и переменного тока. Изложены методы исследования переходных процессов в электрических цепях, а также программы для расчета на ЭВМ электрических цепей на языке БЕЙСИК.

Для преподавателей и учащихся средних специальных учебных заведений.

ББК 31.21

ISBN 985-6079-36-5

© Республиканский институт
профессионального образования, 1997

ПРЕДИСЛОВИЕ

Предмет "Теоретические основы электротехники" базируется на знании общеобразовательных и общетехнических предметов: математики, физики, практического использования программного обеспечения ПЭВМ и является основой для изучения предметов по специальностям электротехнического, электроэнергетического и радиотехнического профилей.

В результате изучения предмета у учащихся должны быть сформированы знания, умения и практические навыки в соответствии с квалификационными требованиями к специалисту.

Учащиеся должны знать:

физические законы, на которых основана электротехника, вытекающие из этих законов следствия, правила, методы расчетов;

наиболее употребительные термины и определения теоретической электротехники;

условные графические обозначения элементов электрических цепей, применяемых в электрических расчетных схемах (схемах замещения);

единицы измерения и буквенные обозначения электрических и магнитных величин;

должны уметь:

читать и составлять принципиальные и расчетные схемы несложных электрических цепей;

выполнять по заданным условиям расчеты несложных электрических цепей постоянного и переменного тока;

собирать несложные электрические цепи по заданным принципиальным и монтажным схемам;

находить неисправности в несложных электрических цепях;
выбирать аппаратуру и контрольно-измерительные приборы.

Преподаватель должен прививать учащимся навыки самостоятельной работы с технической и справочной литературой.

Для закрепления знаний и умений, перечисленных выше, для учащихся введена курсовая работа по теоретическим основам электротехники.

Курсовая работа по предмету "Теоретические основы электротехники" является первой самостоятельной работой расчетного характера.

Пособие предназначено для преподавателей и учащихся средних специальных учебных заведений, изучающих электротехнику. Оно содержит многовариантные задания и типовые расчеты к курсовой работе.

Курсовая работа состоит из двух частей. Задание первой части составлено по темам: "Методы расчета линейных электрических цепей постоянного тока", "Нелинейные электрические цепи постоянного тока". Задание второй части составлено по темам: "Расчет однофазных линейных электрических цепей переменного тока", "Трехфазные электрические цепи", "Переходные процессы в электрических цепях".

Содержание заданий соответствует действующей программе предмета “Теоретические основы электротехники”, утвержденной 24.01.96 г.

Предмет “Теоретические основы электротехники” изучают на протяжении двух семестров. Можно давать в конце первого семестра – вторую часть задания курсовой работы, а в конце второго семестра – вторую часть задания или всю работу по усмотрению преподавателя. Можно дополнять задания курсовой работы по его усмотрению или изменять параметры схем, включать другие разделы предмета, например, тему “Расчет линейных электрических цепей при несинусоидальном напряжении на ее входе” или “Расчет магнитных цепей”.

Число вариантов, предложенных данным пособием по заданиям п. 1.1 и п. 1.2, можно увеличивать. Увеличение можно производить следующим образом: для всех схем в одной группе брать параметры только первого варианта, для второй группы – только второго варианта и т. д. Номера вариантов соответствуют порядковому номеру, под которым фамилия учащегося записана в журнале учебных занятий группы.

При выполнении курсовой работы учащимся необходимо: полностью записывать текст задания и данные; чертежи, условные обозначения элементов схем электрических цепей и схемы выполнять аккуратно согласно стандартам ЕСКД и ЕСТД; во всех расчетах сначала записывать пояснения, формулу, затем подставлять в нее числовые значения; расчеты выполнять с точностью до третьего знака; писать единицы измерений величин только в окончательном результате вычислений.

Обязательно привести список используемой литературы, дату выполнения работы и личную подпись учащегося.

При нарушении правил выбора варианта, а также при выполнении заданий не в полном объеме работа не рецензируется и возвращается учащемуся.

Образцы выполнения курсовой работы показаны в разделах пособия: “Методика расчета линейных и нелинейных электрических цепей постоянного тока”, “Методика расчета однофазных и трехфазных цепей переменного тока”, “Методика исследования переходных процессов”.

В конце пособия приводится десять программ для расчета электрических цепей на ЭВМ на языке БЕЙСИК, применяемой на базе большинства современных персональных ЭВМ. Наименование программы дается в первой строке листинга.

При написании пособия автор стремилась изложить основные вопросы расчета электрических цепей систематизировано, последовательно и доступно, сопровождая расчеты теоретическим изложением материала.

Автор выражает глубокую признательность рецензентам рукописи за ценные замечания, которые были учтены и способствовали улучшению содержания пособия.

1. АНАЛИЗ ЭЛЕКТРИЧЕСКОГО СОСТОЯНИЯ ЛИНЕЙНЫХ И НЕЛИНЕЙНЫХ ЭЛЕКТРИЧЕСКИХ ЦЕПЕЙ ПОСТОЯННОГО ТОКА

1.1. Расчет линейных электрических цепей постоянного тока

Задание

Для электрической цепи (рис. 1.1–1.30) выполнить следующее:

- ✓ 1) составить на основании законов Кирхгофа систему уравнений для определения токов во всех ветвях схемы;
- ✓ 2) определить токи во всех ветвях схемы, используя метод контурных токов;
- 3) определить токи во всех ветвях схемы на основании метода наложения;
- 4) составить баланс мощностей для заданной схемы;
- 5) результаты расчетов токов по пунктам 2 и 3 представить в виде таблицы и сравнить;
- 6) определить ток во второй ветви методом эквивалентного генератора;
- ✓ 7) построить потенциальную диаграмму для любого замкнутого контура, включающего обе ЭДС.

Вариант задания определяют по табл. 1.1.

Таблица 1.1

Числовые параметры схем электрических цепей постоянного тока

№ варианта	E ₁ В	E ₂ В	R ₁ Ом	R ₂ Ом	R ₃ Ом	R ₄ Ом	R ₅ Ом	R ₆ Ом	r ₀₁ Ом	r ₀₂ Ом
0	40	30	52	24	43	36	61	16	1	2
1	50	30	53	34	24	18	25	42	1	1
2	20	30	54	43	32	26	51	15	2	2
3	20	40	64	48	32	25	51	15	1	2
4	40	20	35	52	24	41	16	61	2	1
5	30	20	45	53	32	24	61	15	1	1
6	30	40	26	64	43	35	51	16	2	2
7	20	30	64	43	31	25	52	14	1	2
8	30	40	16	63	34	42	25	52	3	2
9	30	20	54	42	23	31	16	51	1	2

Примечание. Номер схемы соответствует порядковому номеру, под которым фамилия учащегося записана в журнале учебных занятий группы.

Числовые параметры схемы соответствуют последней цифре ее порядкового номера.

Варианты схем электрических цепей постоянного тока

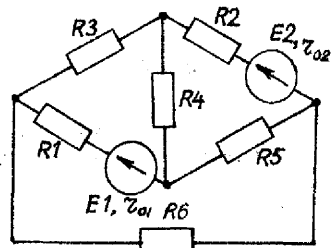


Рис. 1.1

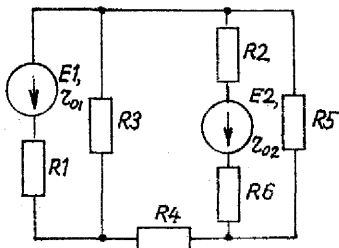


Рис. 1.2

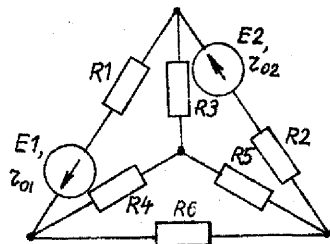


Рис. 1.3

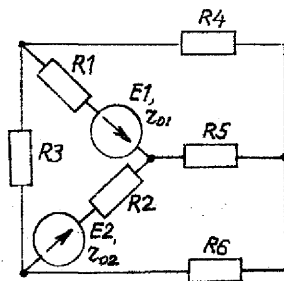


Рис. 1.4

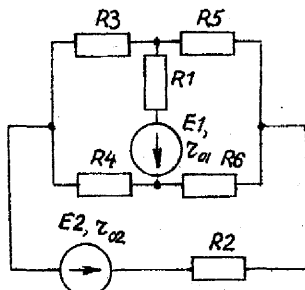


Рис. 1.5

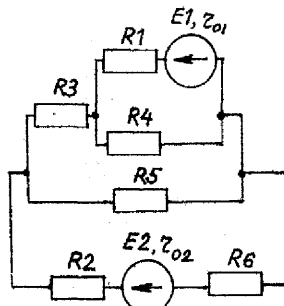


Рис. 1.6

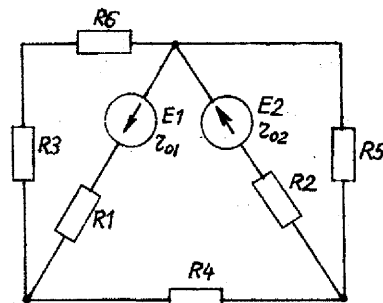


Рис. 1.7

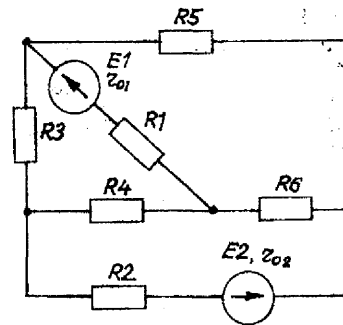


Рис. 1.8

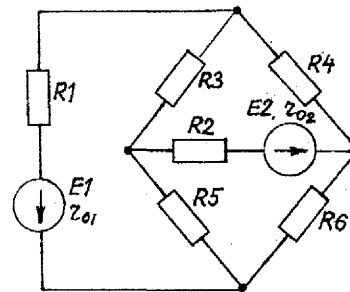


Рис. 1.9

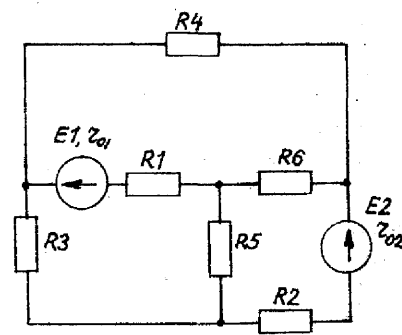


Рис. 1.10

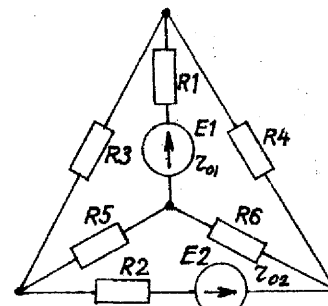


Рис. 1.11

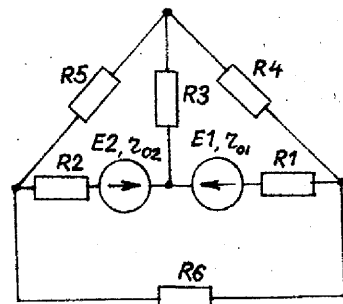


Рис. 1.12

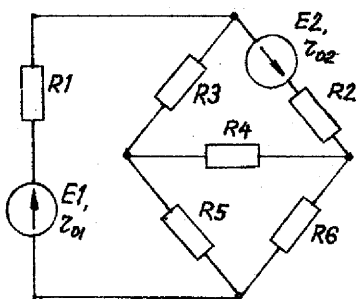


Рис. 1.13

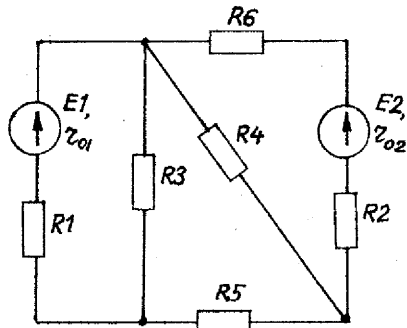


Рис. 1.14

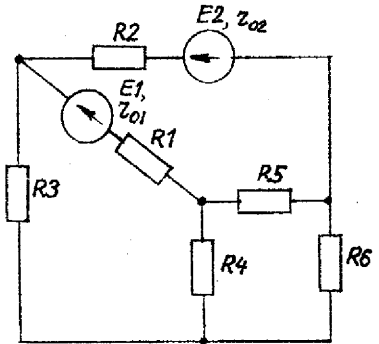


Рис. 1.15

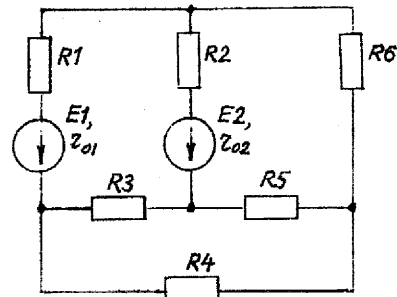


Рис. 1.16

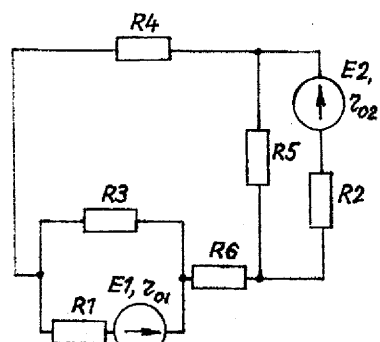


Рис. 1.17

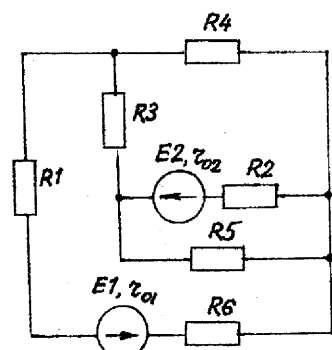


Рис. 1.18

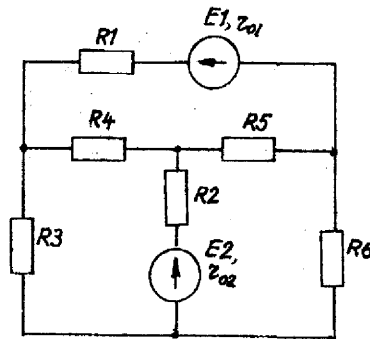


Рис. 1.19

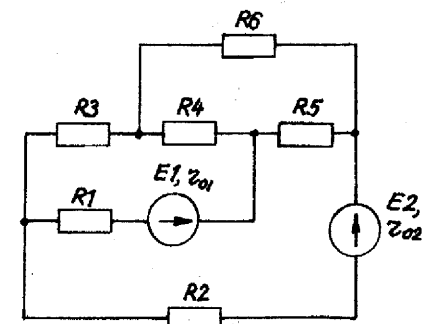


Рис. 1.20

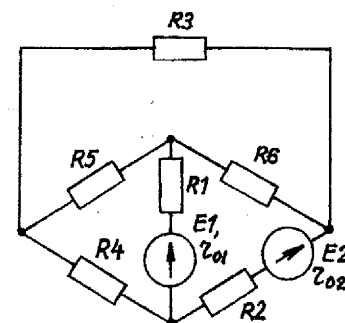


Рис. 1.21

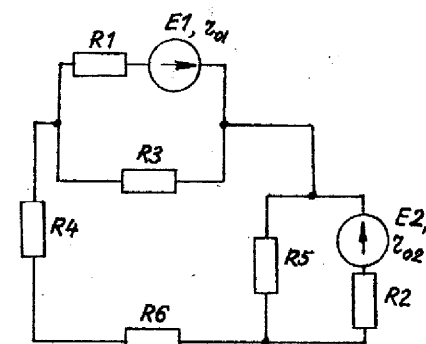


Рис. 1.22

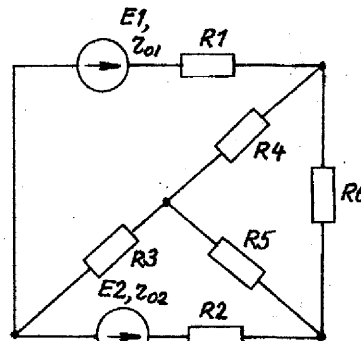


Рис. 1.23

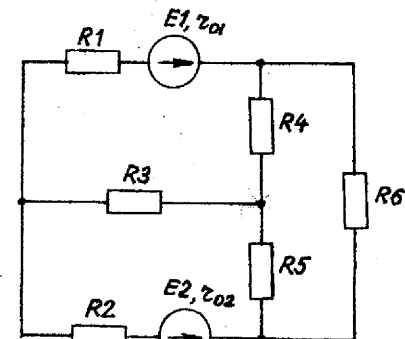


Рис. 1.24

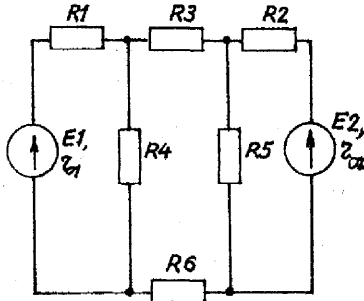


Рис. 1.25

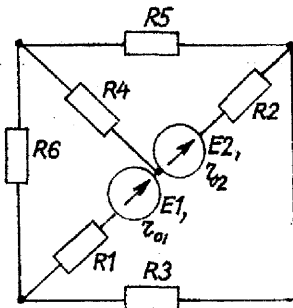


Рис. 1.26

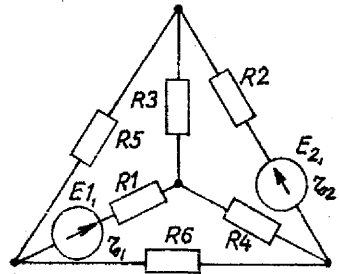


Рис. 1.27

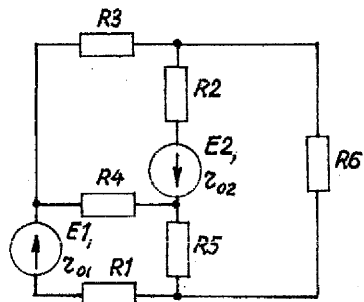


Рис. 1.28

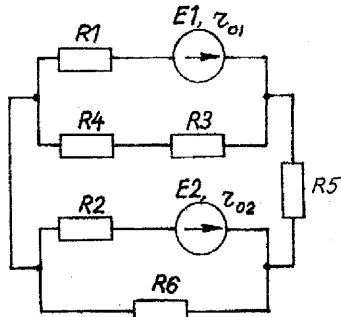


Рис. 1.29

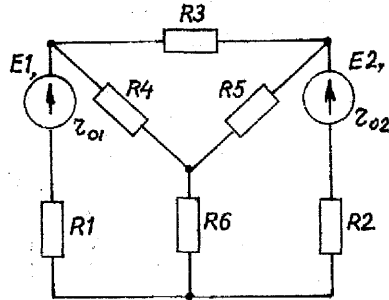


Рис. 1.30

1.2. Расчет нелинейных электрических цепей постоянного тока

Задание

Построить входную вольтамперную характеристику схемы нелинейной электрической цепи постоянного тока. Определить токи во всех ветвях схемы (рис. 1.31–1.36) и напряжения на отдельных элементах, используя полученные вольтамперные характеристики "а", "б" или "в" (см. рис. 1.37). Вариант задания определяют по таблице 1.2.

Варианты схем нелинейных электрических цепей постоянного тока

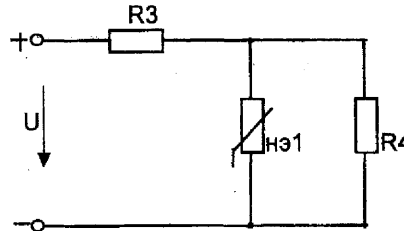


Рис. 1.31

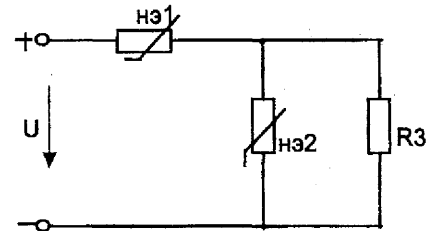


Рис. 1.32

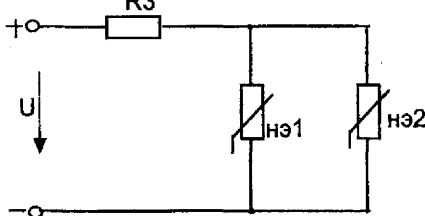


Рис. 1.33

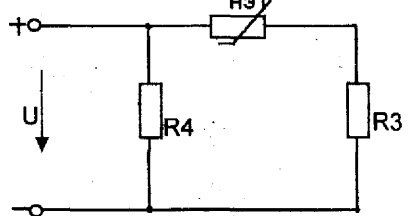


Рис. 1.34

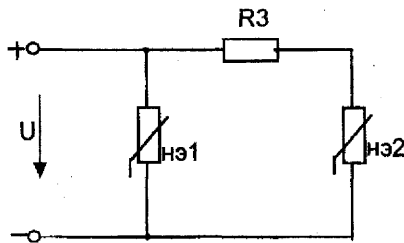


Рис. 1.35

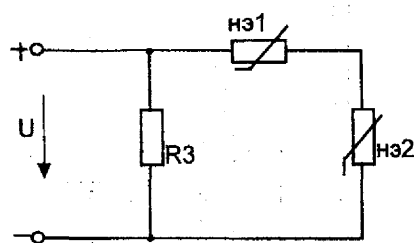


Рис. 1.36

Вольтамперные характеристики нелинейных элементов

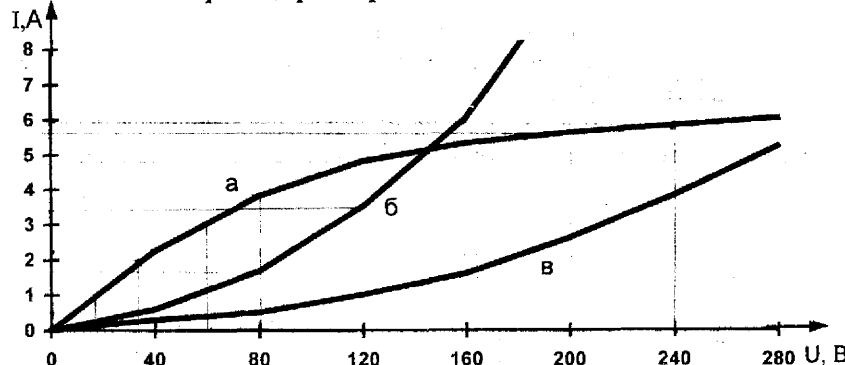


Рис. 1.37

Таблица 1.2

Числовые параметры схем нелинейных электрических цепей постоянного тока

Номер варианта	Номер схемы	Тип характеристики			U В
			нэ1	нэ2	
1	1.31	а	-	28	40
2	1.32	а	б	32	-
3	1.33	а	б	48	-
4	1.32	а	в	26	-
5	1.33	а	в	40	-
6	1.34	а	-	46	30
7	1.35	а	б	32	-
8	1.36	а	б	38	-
9	1.35	а	в	56	-
10	1.36	а	в	40	-
11	1.31	б	-	32	48
12	1.32	б	а	35	-
13	1.33	б	а	24	-
14	1.32	б	в	26	-
15	1.33	б	в	40	-
16	1.34	б	-	30	46
17	1.35	б	а	50	-
18	1.36	б	а	38	-
19	1.35	б	в	48	-
20	1.36	б	в	40	-

Продолжение таблицы 1.2.

Номер варианта	Номер схемы	Тип характеристики		R_3 Ом	R_4 Ом	U В
		нэ1	нэ2			
21	1.31	в	-	32	48	80
22	1.32	в	а	26	-	100
23	1.33	в	а	40	-	120
24	1.32	в	б	45	-	140
25	1.33	в	б	24	-	160
26	1.34	в	-	46	30	180
27	1.35	в	а	32	-	200
28	1.36	в	а	50	-	220
29	1.35	в	б	56	-	240
30	1.36	в	б	40	-	60

1.3. Методика расчета линейных электрических цепей постоянного тока

Для электрической цепи, изображенной на рис. 1.38, выполнить следующее:

- 1) составить на основании законов Кирхгофа систему уравнений для определения токов во всех ветвях схемы;
- 2) определить токи во всех ветвях схемы, используя метод контурных токов;
- 3) определить токи во всех ветвях схемы на основании метода наложения;
- 4) составить баланс мощностей для заданной схемы;
- 5) результаты расчета токов по пунктам 2 и 3 представить в виде таблицы и сравнить;
- 6) определить ток во второй ветви методом эквивалентного генератора;
- 7) построить потенциальную диаграмму для любого замкнутого контура, включающего обе ЭДС.

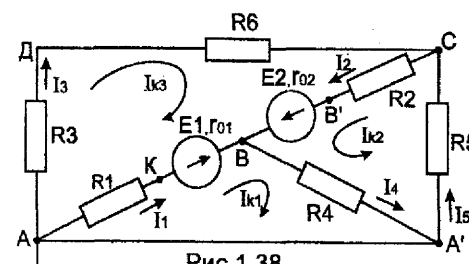


Рис. 1.38

Дано: $E_1 = 40$ В, $E_2 = 60$ В,
 $R_1 = 18$ Ом, $R_2 = 36$ Ом,
 $R_3 = 16$ Ом, $R_4 = 24$ Ом,
 $R_5 = 40$ Ом, $R_6 = 34$ Ом,
 $r_{01} = 2$ Ом, $r_{02} = 4$ Ом.

Определить: I_1 , I_2 , I_3 ,
 I_4 , I_5

1) Составить систему уравнений, применяя законы Кирхгофа для определения токов во всех ветвях.

Метод узловых и контурных уравнений основан на применении первого и второго законов Кирхгофа. Он не требует никаких преобразований схемы и пригоден для расчета любой цепи.

При расчете данным методом произвольно задаем направление токов в ветвях I_1, I_2, I_3, I_4, I_5 .

Составляем систему уравнений. В системе должно быть столько уравнений, сколько в цепи ветвей (неизвестных токов).

В заданной цепи пять ветвей, значит, в системе должно быть пять уравнений ($m = 5$). Сначала составляем уравнения для узлов по первому закону Кирхгофа. Для цепи с n узлами можно составить $(n-1)$ независимых уравнений. В нашей цепи три узла (A, B, C), значит, число уравнений: $n-1 = 3-1 = 2$. Составляем два уравнения для любых 2-х узлов, например, для узлов B и C.

$$\text{узел B: } I_1 + I_2 = I_4$$

$$\text{узел C: } I_3 + I_5 = I_2$$

Всего в системе должно быть пять уравнений. Два уже есть. Три недостающих составляем для линейно независимых контуров. Чтобы они были независимыми, в каждый следующий контур надо включить хотя бы одну ветвь, не входящую в предыдущие.

Задаемся обходом каждого контура и составляем уравнения по второму закону Кирхгофа.

Контур АДСВА – обход по часовой стрелке

$$E_2 - E_1 = I_2(R_2 + r_{02}) - I_1(R_1 + r_{01}) + I_3(R_3 + R_6)$$

Контур АВА'А – обход по часовой стрелке

$$E_1 = I_1(R_1 + r_{01}) + I_4 R_4$$

Контур А'СВА' – обход против часовой стрелки

$$E_2 = I_2(R_2 + r_{02}) + I_4 R_4 + I_5 R_5$$

ЭДС в контуре берется со знаком “+”, если направление ЭДС совпадает с обходом контура, если не совпадает – знак “-”.

Падение напряжения на сопротивлении контура берется со знаком “+”, если направление тока в нем совпадает с обходом контура, со знаком “-”, если не совпадает.

Мы получили систему из пяти уравнений с пятью неизвестными:

$$\begin{cases} I_4 = I_1 + I_2 \\ I_2 = I_3 + I_5 \\ E_2 - E_1 = I_2(R_2 + r_{02}) + I_3(R_3 + R_6) - I_1(R_1 + r_{01}) \\ E_1 = I_1(R_1 + r_{01}) + I_4 R_4 \\ E_2 = I_2(R_2 + r_{02}) + I_4 R_4 + I_5 R_5 \end{cases}$$

Решив систему, определим величину и направление тока во всех ветвях схемы.

Если при решении системы ток получается со знаком “-”, значит его действительное направление обратно тому направлению, которым мы задались.

2) Определить токи во всех ветвях схемы, используя метод контурных токов.

Метод контурных токов основан на использовании только второго закона Кирхгофа. Это позволяет уменьшить число уравнений в системе на $n-1$.

Достигается это разделением схемы на ячейки (независимые контуры) и введением для каждого контура-ячейки своего тока – контурного тока, являющегося расчетной величиной.

Итак, в заданной цепи (рис. 1.38) можно рассмотреть три контура-ячейки (АДСВА, АВА'А, А'СВА') и ввести для них контурные токи I_{k1}, I_{k2}, I_{k3} .

Контуры-ячейки имеют ветви, не входящую в другие контуры – это внешние ветви. В этих ветвях контурные токи являются действительными токами ветвей.

Ветви, принадлежащие двум смежным контурам, называются смежными ветвями. В них действительный ток равен алгебраической сумме контурных токов смежных контуров, с учетом их направления.

При составлении уравнений по второму закону Кирхгофа в левой части равенства алгебраически суммируются ЭДС источников, входящих в контур-ячейку, в правой части равенства алгебраически суммируются напряжения на сопротивлениях, входящих в этот контур, а также учитывается падение напряжения на сопротивлениях смежной ветви, определяемое по контурному току соседнего контура.

На основании вышеизложенного порядок расчета цепи методом контурных токов будет следующим:

стрелками указываем выбранные направления контурных токов I_{k1}, I_{k2}, I_{k3} в контурах-ячейках. Направление обхода контуров принимаем таким же;

составляем уравнения и решаем систему уравнений или методом подстановки, или с помощью определителей.

$$\begin{cases} E_1 = I_{k1}(R_1 + r_{01} + R_4) + I_{k2}R_4 - I_{k3}(R_1 + r_{01}) \\ E_2 = I_{k2}(R_2 + r_{02} + R_4 + R_5) + I_{k1}R_4 + I_{k3}(R_2 + r_{02}) \end{cases}$$

$$E_2 - E_1 = I_{k3}(R_2 + r_{02} + R_1 + r_{01} + R_3 + R_6) - I_{k1}(R_1 + r_{01}) + I_{k2}(R_2 + r_{02})$$

Подставляем в уравнение численные значения ЭДС и сопротивлений.

$$40 = I_{k1}(18 + 2 + 24) + I_{k2}24 - I_{k3}(18 + 2)$$

$$60 = I_{k2}(36 + 4 + 24 + 40) + I_{k1}24 + I_{k3}(36 + 4)$$

$$60 - 40 = I_{k3}(36 + 4 + 18 + 2 + 16 + 34) - I_{k1}(18 + 2) + I_{k2}(36 + 4)$$

или

$$\begin{cases} 40 = I_{k1} \cdot 44 + I_{k2} \cdot 24 - I_{k3} \cdot 20 \\ 60 = I_{k1} \cdot 24 + I_{k2} \cdot 104 + I_{k3} \cdot 40 \\ 20 = -I_{k1} \cdot 20 + I_{k2} \cdot 40 + I_{k3} \cdot 110 \end{cases}$$

Сократив первое уравнение на 4, второе – на 4, третье – на 10, получим:

$$\begin{cases} 10 = I_{k1} \cdot 11 + I_{k2} \cdot 6 - I_{k3} \cdot 5 \\ 15 = I_{k1} \cdot 6 + I_{k2} \cdot 26 + I_{k3} \cdot 10 \\ 2 = -I_{k1} \cdot 2 + I_{k2} \cdot 4 + I_{k3} \cdot 11 \end{cases}$$

Решим систему с помощью определителей. Вычислим определитель системы Δ и частные определители $\Delta_1, \Delta_2, \Delta_3$.

$$\Delta = \begin{vmatrix} 11 & 6 & -5 \\ 6 & 26 & 10 \\ -2 & 4 & 11 \end{vmatrix} = 11 \cdot 26 \cdot 11 + 6 \cdot 10 \cdot (-2) + 6 \cdot 4 \cdot (-5) - (-2) \cdot 26 \cdot (-5) - 6 \cdot 6 \cdot 11 - 4 \cdot 10 \cdot 11 = 1810$$

$$\Delta_1 = \begin{vmatrix} 10 & 6 & -5 \\ 15 & 26 & 10 \\ 2 & 4 & 11 \end{vmatrix} = 10 \cdot 26 \cdot 11 + 15 \cdot 4 \cdot (-5) + 6 \cdot 10 \cdot 2 - 2 \cdot 26 \cdot (-5) - 15 \cdot 6 \cdot 11 - 4 \cdot 10 \cdot 10 = 1550$$

$$\Delta_2 = \begin{vmatrix} 11 & 10 & -5 \\ 6 & 15 & 10 \\ -2 & 2 & 11 \end{vmatrix} = 11 \cdot 15 \cdot 11 + 10 \cdot 10 \cdot (-2) + 6 \cdot 2 \cdot (-5) - (-2) \cdot 15 \cdot (-5) - 6 \cdot 10 \cdot 11 - 2 \cdot 10 \cdot 11 = 525$$

$$\Delta_3 = \begin{vmatrix} 11 & 6 & 10 \\ 6 & 26 & 15 \\ -2 & 4 & 2 \end{vmatrix} = 11 \cdot 26 \cdot 2 + 6 \cdot 15 \cdot (-2) + 4 \cdot 6 \cdot 10 - (-2) \cdot 26 \cdot 10 - 4 \cdot 15 \cdot 11 - 6 \cdot 6 \cdot 2 = 420$$

Вычисляем контурные токи:

$$I_{k1} = \frac{\Delta_1}{\Delta} = \frac{1550}{1810} = 0,856 \text{ A}; \quad I_{k2} = \frac{\Delta_2}{\Delta} = \frac{525}{1810} = 0,290 \text{ A}$$

$$I_{k3} = \frac{\Delta_3}{\Delta} = \frac{420}{1810} = 0,232 \text{ A.}$$

Действительные токи ветвей:

$$I_1 = I_{k1} - I_{k3} = 0,856 - 0,232 = 0,624 \text{ A},$$

$$I_2 = I_{k2} + I_{k3} = 0,290 + 0,232 = 0,522 \text{ A},$$

$$I_3 = I_{k3} = 0,232 \text{ A},$$

$$I_4 = I_{k1} + I_{k2} = 0,856 + 0,290 = 1,146 \text{ A},$$

$$I_5 = I_{k2} = 0,290 \text{ A.}$$

3) Определить токи во всех ветвях схемы на основании метода наложения.

По методу наложения ток в любом участке цепи рассматривается

как алгебраическая сумма частных токов, созданных каждой ЭДС в отдельности.

а) Определяем частные токи от ЭДС E_1 , при отсутствии ЭДС E_2 , т. е. рассчитываем цепь по рис. 1.39.

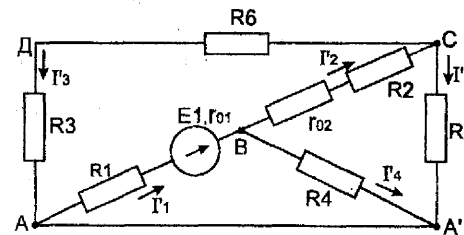


Рис. 1.39

$$R_{365} = \frac{R_5 \cdot R_{36}}{R_5 + R_{36}} = \frac{40 \cdot 50}{40 + 50} = 22,222 \text{ Ом}$$

$$R_{2,02,365} = R_{2,02} + R_{365} = 40 + 22,222 = 62,222 \text{ Ом}$$

$$R_{4,2,02,365} = \frac{R_4 \cdot R_{2,02,365}}{R_4 + R_{2,02,365}} = \frac{24 \cdot 62,222}{24 + 62,222} = 17,320 \text{ Ом}$$

$$R_{экв} = R_1 + R_{4,2,02,365} = 18 + 17,320 = 35,320 \text{ Ом}$$

Ток источника

$$I_1' = \frac{E_1}{R_{экв} + r_{01}} = \frac{40}{35,320 + 2} = 1,072 \text{ А}$$

Применяя формулу разброса и I-й закон Кирхгофа, вычисляем токи ветвей:

$$I_2' = I_1' \cdot \frac{R_4}{R_4 + R_{2,02,365}} = 1,072 \cdot \frac{24}{24 + 62,222} = 0,298 \text{ А};$$

$$I_4' = I_1' - I_2' = 1,072 - 0,298 = 0,774 \text{ А};$$

$$I_5' = I_2' \cdot \frac{R_{36}}{R_{36} + R_5} = 0,298 \cdot \frac{50}{50 + 40} = 0,166 \text{ А};$$

$$I_3' = I_2' - I_5' = 0,298 - 0,166 = 0,132 \text{ А.}$$

б) Определяем частные токи от ЭДС E_2 при отсутствии ЭДС E_1 , т. е. рассчитываем простую цепь по рис. 1.40.

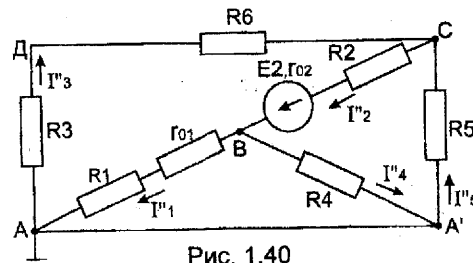


Рис. 1.40

Показываем направление частных токов от ЭДС E_2 и обозначаем их буквой I с двумя штрихами (I'').

Рассчитываем общее сопротивление цепи:
 $R_{36} = R_3 + R_6 = 16 + 34 = 50 \text{ Ом}$

$$R_{1,01} = R_1 + r_{01} = 18 + 2 = 20 \text{ Ом}$$

$$R_{365} = \frac{R_{36} \cdot R_5}{R_{36} + R_5} = \frac{50 \cdot 40}{50 + 40} = 22,222 \text{ Ом}; \quad R_{1,01,4} = \frac{R_4 \cdot R_{1,01}}{R_4 + R_{1,01}} = \frac{20 \cdot 24}{20 + 24} = 10,909 \text{ Ом};$$

$$R_{\text{экв}} = R_{1,01,4} + R_{365} + R_2 = 10,909 + 22,222 + 36 = 69,131 \text{ Ом}$$

Вычисляем ток источника

$$I_2'' = \frac{E_2}{R_{\text{экв}} + r_{02}} = \frac{60}{69,131 + 4} = 0,820 \text{ А.}$$

Применяя формулу разброса и I-й закон Кирхгофа, вычисляем токи ветвей:

$$I_3'' = I_2'' \cdot \frac{R_5}{R_5 + R_{36}} = 0,820 \cdot \frac{40}{50 + 40} = 0,364 \text{ А.};$$

$$I_5'' = I_2'' - I_3'' = 0,820 - 0,364 = 0,456 \text{ А.};$$

$$I_1'' = I_2'' \cdot \frac{R_4}{R_4 + R_{1,01}} = 0,820 \cdot \frac{24}{24 + 20} = 0,447 \text{ А.};$$

$$I_4'' = I_2'' - I_1'' = 0,820 - 0,447 = 0,373 \text{ А.}$$

Вычисляем токи ветвей исходной цепи (рис. 1.38), выполняя алгебраическое сложение частных токов, учитывая их направление:

$$I_1 = I_1' - I_1'' = 1,072 - 0,447 = 0,625 \text{ А.};$$

$$I_2 = I_2'' - I_2' = 0,820 - 0,298 = 0,522 \text{ А.};$$

$$I_3 = I_3'' - I_3' = 0,364 - 0,132 = 0,232 \text{ А.};$$

$$I_4 = I_4'' + I_4' = 0,774 + 0,373 = 1,147 \text{ А.};$$

$$I_5 = I_5'' - I_5' = 0,456 - 0,166 = 0,290 \text{ А.}$$

4) Составить баланс мощностей для заданной схемы.

Источники E_1 и E_2 вырабатывают электрическую энергию, т. к. направление ЭДС и тока в ветвях с источниками совпадают. Баланс мощностей для заданной цепи запишется так:

$$E_1 I_1 + E_2 I_2 = I_1^2 (R_1 + r_{01}) + I_2^2 (R_2 + r_{02}) + I_3^2 (R_3 + R_6) + I_4^2 R_4 + I_5^2 R_5$$

Подставляем числовые значения и вычисляем

$$40 \cdot 0,624 + 60 \cdot 0,522 = 0,624^2 \cdot (18 + 2) + 0,522^2 \cdot (36 + 4) + 0,232^2 \cdot (16 + 34) + 1,146^2 \cdot 24 + 0,290^2 \cdot 40;$$

$$56,280 \text{ Вт} = 56,262 \text{ Вт}$$

С учетом погрешности расчетов баланс мощностей получился.

5) Результаты расчетов токов по пунктам 2 и 3 представить в виде таблицы и сравнить.

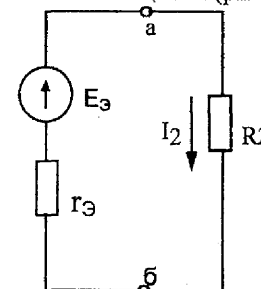
Метод расчета \ Ток в ветви	I_1 , А	I_2 , А	I_3 , А	I_4 , А	I_5 , А
метод контурных токов	0,624	0,522	0,232	1,146	0,290
метод наложения	0,625	0,522	0,232	1,147	0,290

Расчет токов ветвей обоими методами с учетом ошибок вычислений практически одинаков.

6) Определить ток во второй ветви методом эквивалентного генератора.

Метод эквивалентного генератора используется для исследования работы какого-либо участка в сложной электрической цепи.

Для решения задачи методом эквивалентного генератора разделим электрическую цепь на две части: потребитель (исследуемая ветвь с сопротивлением R_2 , в которой требуется определить величину тока) и эквивалентный генератор (оставшаяся часть цепи, которая для потребителя R_2 служит источником электрической энергии, т. е. генератором). Получается схема замещения (рис. 1.41).



На схеме искомый ток I_2 определим по закону Ома для замкнутой цепи:

$$I_2 = \frac{E_3}{R_2 + r_3},$$

где E_3 – ЭДС эквивалентного генератора, ее величину определяют как напряжение на зажимах генератора в режиме холостого хода, $E_3 = U_{xx}$.

r_3 – внутреннее сопротивление эквивалентного генератора, его величина рассчитывается как эквивалентное сопротивление пассивного двухполюсника относительно исследуемых зажимов.

Изображаем схему эквивалентного генератора в режиме холостого хода (рис. 1.42), т. е. при отключенном потребителе R_2 от зажимов a и b . В этой схеме есть контур, в котором течет ток режима холостого хода. Определим его величину:

$$I_{xx} = \frac{E_1}{R_1 + R_4 + r_{01}} = \frac{40}{18 + 24 + 2} = 0,909 \text{ А}$$

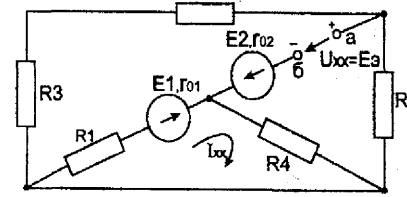


Рис. 1.42

Зная I_{xx} , величины сопротивлений и ЭДС, в схеме можно определить U_{xx} как разность потенциалов между клеммами a и b . Для этого потенциал точки b будем считать известным и вычислим потенциал точки a .

$$\Phi_a = \Phi_6 + E_2 - I_{xx} \cdot R_4$$

тогда

$$U_{xx} = \Phi_a - \Phi_6 = E_2 - I_{xx} \cdot R_4 = 60 - 0,909 \cdot 24 = 38,184 \text{ В}$$

$$E_3 = U_{xx} = 38,184 \text{ В.}$$

Для расчета внутреннего сопротивления эквивалентного генератора необходимо преобразовать активный двухполюсник в пассивный (рис. 1.43), при этом ЭДС E_2 и E_1 из схемы исключается, а внутренние сопротивления этих источников r_{01} и r_{02} в схеме остаются.

Вычисляем эквивалентное сопротивление схемы (рис. 1.43) относительно зажимов a и b .

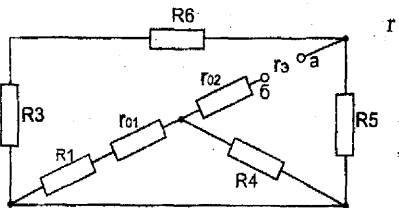


Рис. 1.43

$$r_3 = r_{02} + \frac{(R_1 + r_{01}) \cdot R_4}{R_1 + r_{01} + R_4} + \frac{(R_3 + R_6) \cdot R_5}{R_3 + R_6 + R_5}$$

$$R_5 \cdot r_3 = 4 + \frac{(18 + 2) \cdot 24}{18 + 2 + 24} + \frac{(16 + 34) \cdot 40}{16 + 34 + 40} = 37,131 \text{ Ом}$$

Зная ЭДС и внутреннее сопротивление эквивалентного генератора, вычисляем ток в исследуемой ветви:

$$I_2 = \frac{E_3}{R_2 + r_3} = \frac{38,184}{36 + 37,131} = 0,522 \text{ А,}$$

т. е. ток в этой ветви получился таким же, как и в пунктах 2 и 3.

7) Построить потенциальную диаграмму для любого замкнутого контура, включающего обе ЭДС.

Возьмем контур АДСВА. Зададимся обходом контура по часовой стрелке. Заземлим одну из точек контура, пусть это будет точка А. Потенциал этой точки равен нулю $\Phi_A = 0$ (рис. 1.38).

Зная величину и направление токов ветвей и ЭДС, а также величины сопротивлений, вычислим потенциалы всех точек контура при переходе от элемента к элементу. Начнем обход от точки А.

$$\Phi_D = \Phi_A - I_3 R_3 = 0 - 0,232 \cdot 16 = -3,712 \text{ В;}$$

$$\Phi_C = \Phi_D - I_3 R_6 = -3,712 - 0,232 \cdot 34 = -11,6 \text{ В;}$$

$$\Phi_B = \Phi_C - I_2 R_2 = -11,6 - 0,522 \cdot 36 = -30,392 \text{ В;}$$

$$\Phi_B = \Phi_{B'} + E_2 - I_2 r_{02} = -30,392 + 60 - 0,522 \cdot 4 = 27,520 \text{ В;}$$

$$\Phi_K = \Phi_B + I_1 r_{01} - E_1 = 27,520 + 0,624 \cdot 2 - 40 = -11,232 \text{ В;}$$

$$\Phi_A = \Phi_K + I_1 R_1 = -11,232 + 0,624 \cdot 18 = 0 - \text{проверочная точка.}$$

Строим потенциальную диаграмму. По оси абсцисс откладываем сопротивления контура в той последовательности, в которой производим обход контура, прикладывая сопротивления друг к другу, по оси ординат – потенциалы точек с учетом их знака.

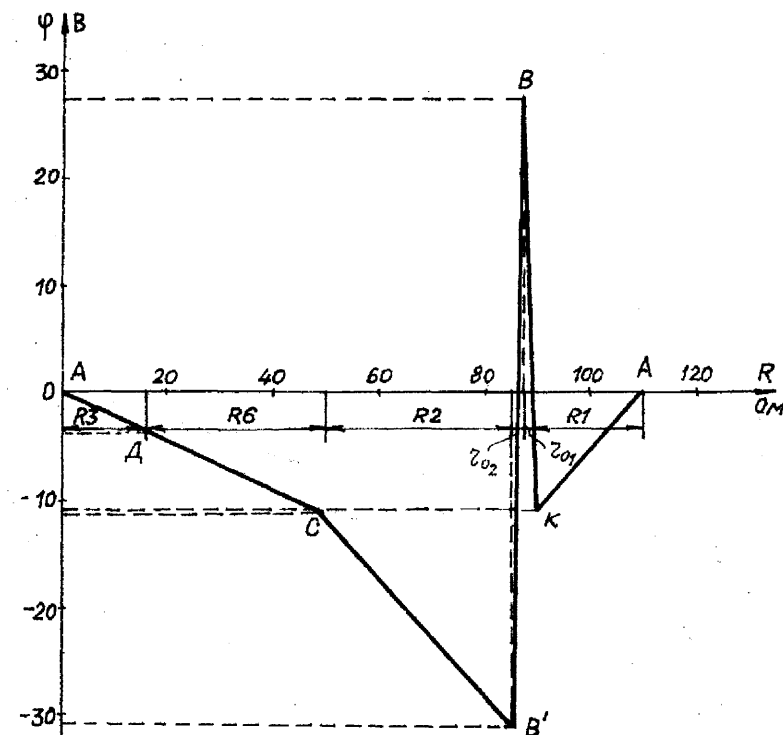
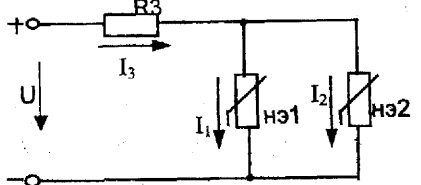


Рис. 1.44

1.4. Методика расчета нелинейных электрических цепей постоянного тока

Построить входную вольтамперную характеристику схемы (рис. 1.45). Определить токи во всех ветвях схемы и напряжения на отдельных элементах, используя полученные вольтамперные характеристики.

Использовать вольтамперные характеристики элементов "а" и "в" (рис. 1.37).



Дано: $U = 110 \text{ В}$,
 $R_3 = 20 \Omega$

Определить: $I_1, I_2, I_3, U_1, U_2, U_3$

Рис. 1.45

Расчет цепи производим графическим методом. Для этого в общей системе координат строим вольтамперные характеристики (ВАХ) линейного и нелинейных элементов: $I_1 = f(U_1)$, $I_2 = f(U_2)$, $I_3 = f(U_3)$ (рис. 1.46).

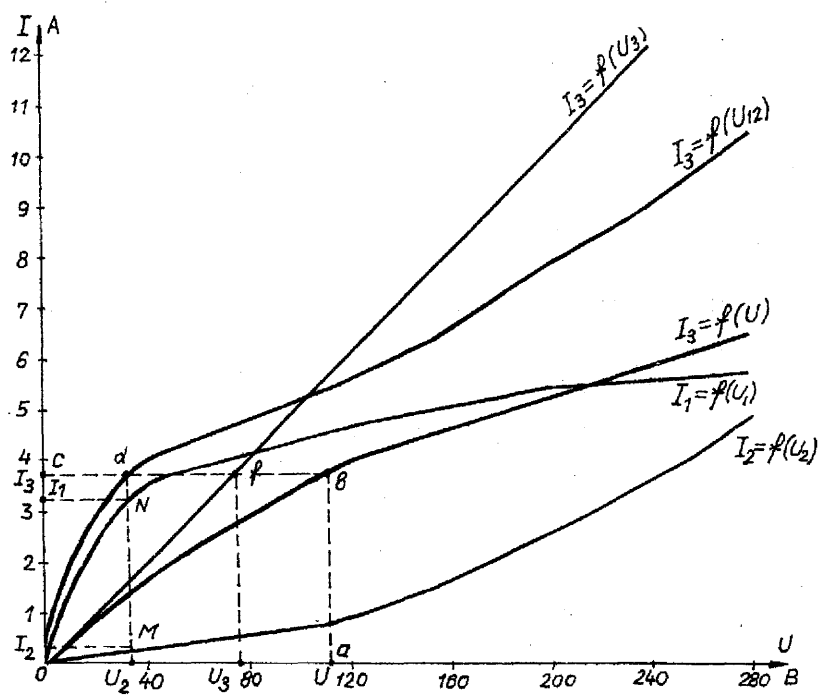


Рис. 1.46

ВАХ линейного элемента строим по уравнению $I = \frac{U_R}{R}$. Она представляет собой прямую, проходящую через начало координат. Для опреде-

ления координаты второй точки ВАХ линейного элемента задаемся произвольным значением напряжения. Например, $U_R = 40 \text{ В}$, тогда соответствующее значение тока $I_3 = \frac{U_R}{R_3} = \frac{40}{20} = 2 \text{ А}$. Соединив полученную точку с началом координат, получим ВАХ линейного элемента.

Далее строится общая ВАХ цепи с учетом схемы соединения элементов. В нашей цепи соединение элементов смешанное. Поэтому графически "сворачиваем" цепь. Начинаем с разветвленного участка. Нелинейные элементы соединены параллельно, их ВАХ $I_1 = f(U_1)$ и $I_2 = f(U_2)$. С учетом этого строим общую для них ВАХ. Для этого задаемся напряжением и складываем токи при этом напряжении $I_3 = I_1 + I_2$. Точка пересечения этих значений тока и напряжения дает одну из точек их общей ВАХ. В результате получаем множество точек и по ним строим ВАХ $I_3 = f(U_{12})$.

Далее мы имеем характеристики линейного элемента $I_3 = f(U_3)$ и нелинейного элемента (нэ12) $I_3 = f(U_{12})$, которые соединены между собой последовательно. Строим для них общую ВАХ. В данном случае задаемся током и складываем напряжения. Проделываем это многократно. По полученным точкам строим общую ВАХ цепи $I_3 = f(U)$.

Дальнейший расчет цепи производим по полученным графикам.

Чтобы найти токи и напряжения на всех элементах цепи, поступаем так: по оси напряжений находим значение напряжения, равное 110 В (точка "а"). Из этой точки восстанавливаем перпендикуляр до пересечения с общей ВАХ $I_3 = f(U)$, получим точку "в". Из точки "в" опускаем перпендикуляр на ось тока (точка "с"). Отрезок "св" дает нам искомое значение общего тока $I_3 = 3,6 \text{ А}$. Когда опускаем перпендикуляр из точки "в" на ось тока, то пересекаем ВАХ $I_3 = f(U_3)$ и $I_3 = f(U_{12})$ в точках "д" и "ф" соответственно. Опуская перпендикуляры из этих точек на ось напряжения, получим напряжения на каждом участке цепи: $U_3 = 75 \text{ В}$ и $U_{12} = 35 \text{ В}$, но $U_{12} = U_1 = U_2$, т. к. нелинейные элементы соединены параллельно. Чтобы найти токи I_1 и I_2 при $U_{12} = 35 \text{ В}$, опустим перпендикуляр из точки "д" на ось напряжений до пересечения с ВАХ $I_1 = f(U_1)$ и $I_2 = f(U_2)$ в точках "н" и "м". Опустив из этих точек перпендикуляры на ось токов, получим $I_2 = 0,4 \text{ А}$ и $I_1 = 3,2 \text{ А}$. В результате имеем следующие значения токов и напряжений на всех элементах цепи: $I_1 = 3,2 \text{ А}$; $I_2 = 0,4 \text{ А}$; $I_3 = 3,6 \text{ А}$; $U_1 = 35 \text{ В}$; $U_2 = 35 \text{ В}$; $U_3 = 75 \text{ В}$.

**2. АНАЛИЗ ЭЛЕКТРИЧЕСКОГО СОСТОЯНИЯ
ЛИНЕЙНЫХ ЭЛЕКТРИЧЕСКИХ ЦЕПЕЙ ПЕРЕМЕННОГО ТОКА:
ОДНОФАЗНЫХ, ТРЕХФАЗНЫХ. ИССЛЕДОВАНИЕ
ПЕРЕХОДНЫХ ПРОЦЕССОВ В ЭЛЕКТРИЧЕСКИХ ЦЕПЯХ**

**2.1. Расчет однофазных линейных электрических цепей
переменного тока**

Задание

К зажимам электрической цепи подключен источник синусоидального напряжения $u = U_m \sin(\omega t + \psi_u)$. В частотой $f = 50$ Гц. Амплитуда, начальная фаза напряжения и параметры элементов цепи заданы в таблице 2.1. Схемы замещения цепи приведены на рис. 2.1–2.30.

Выполнить следующее:

- 1) начертить схему замещения электрической цепи, соответствующую варианту, рассчитать реактивные сопротивления элементов цепи;
- 2) определить действующие значения токов во всех ветвях цепи;
- 3) записать уравнение мгновенного значения тока источника;
- 4) составить баланс активных и реактивных мощностей;
- 5) построить векторную диаграмму токов, совмещенную с топографической векторной диаграммой напряжений.

Таблица 2.1

**Числовые параметры схем
однофазных электрических цепей переменного тока**

№ варианта	U_m В	ψ_u град	R_1 Ом	R_2 Ом	L_1 млГн	L_2 млГн	C_1 мкФ	C_2 мкФ
1	180	60	25	50	79,5	127,2	318	79,5
2	311	30	20	30	63,6	127,2	79,5	53,0
3	540	-45	50	100	159	254,4	63,5	39,8
4	320	90	40	60	127,2	190,8	39,8	53
5	180	0	20	30	127,2	63,8	159	159
6	32	45	7,5	15	23,8	38,2	42,5	199
7	54	60	10	20	31,8	50,9	318	199
8	20	-20	15	30	15,9	127	79,5	106
9	32	30	30	45	190,8	95,4	106	106
0	54	60	10	15	63,6	31,8	318	318

Примечание. Номер схемы соответствует порядковому номеру, под которым фамилия учащегося записана в журнале учебных занятий группы.

Числовые параметры схемы соответствуют последней цифре ее порядкового номера.

**Варианты схем
однофазных электрических цепей переменного тока**

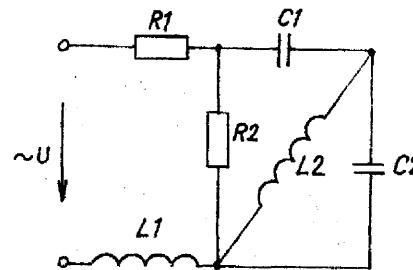


Рис. 2.1

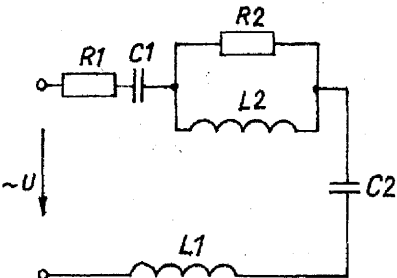


Рис. 2.2

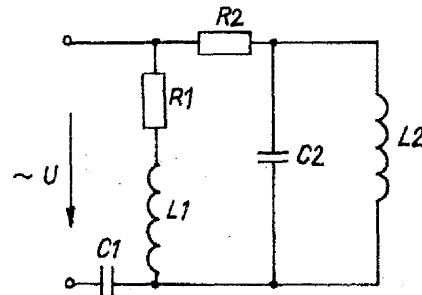


Рис. 2.3

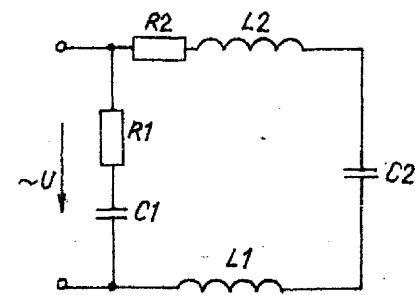


Рис. 2.4

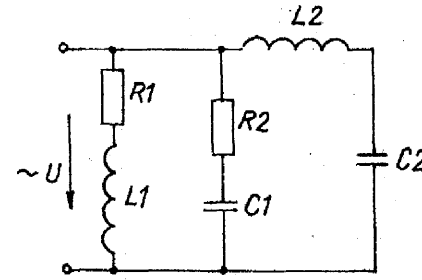


Рис. 2.5

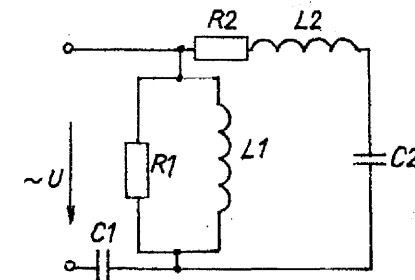


Рис. 2.6

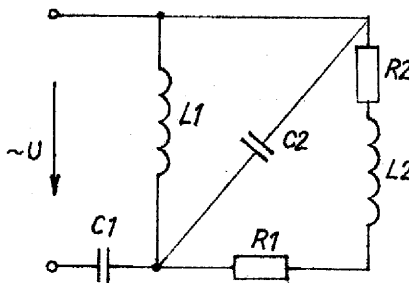


Рис. 2.7

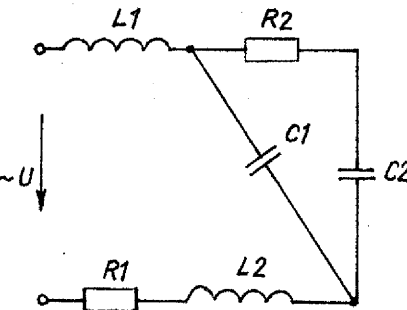


Рис. 2.8

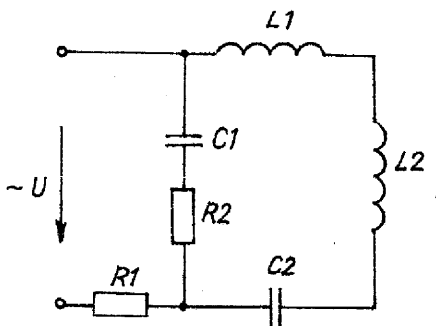


Рис. 2.9

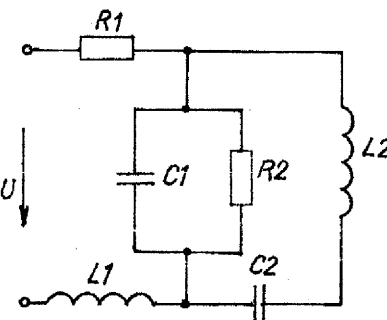


Рис. 2.10

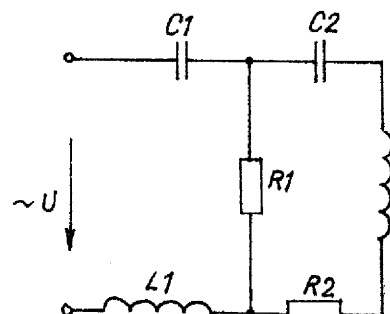


Рис. 2.11

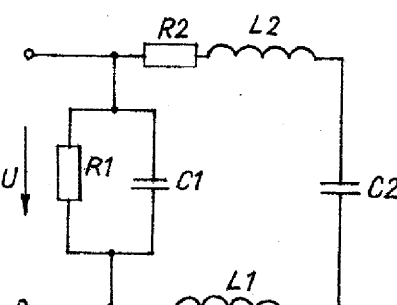


Рис. 2.12

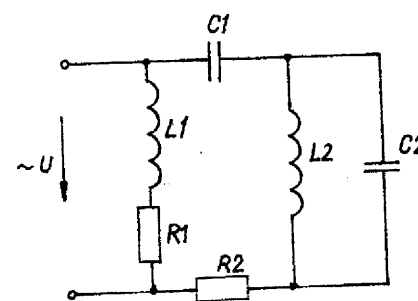


Рис. 2.13

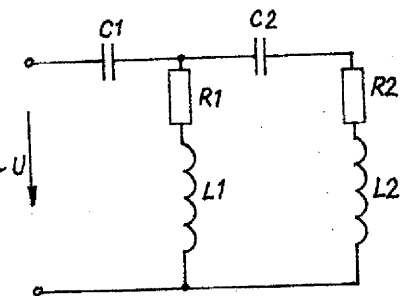


Рис. 2.14

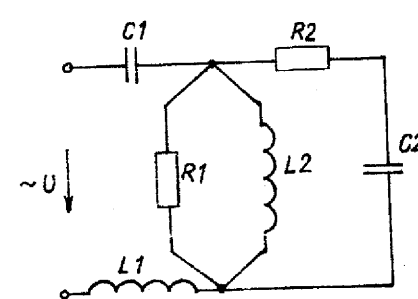


Рис. 2.15

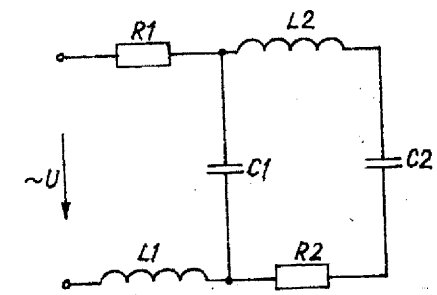


Рис. 2.16

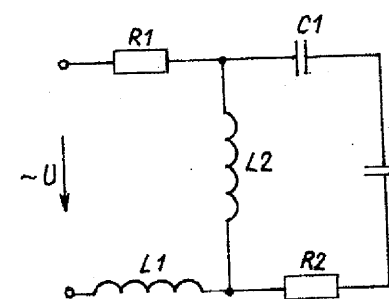


Рис. 2.17

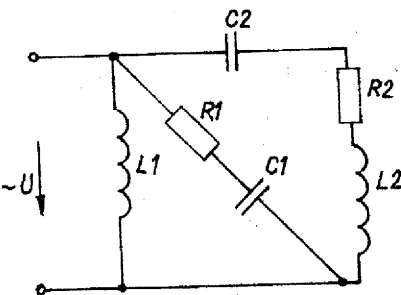


Рис. 2.18

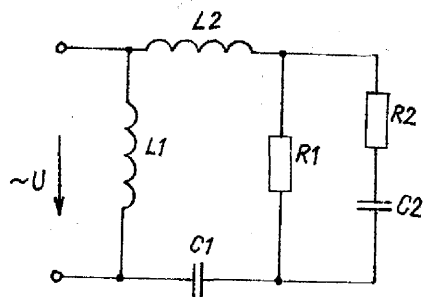


Рис. 2.19

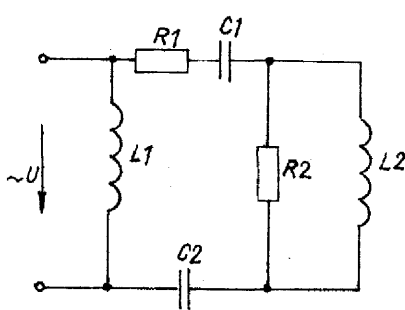


Рис. 2.20

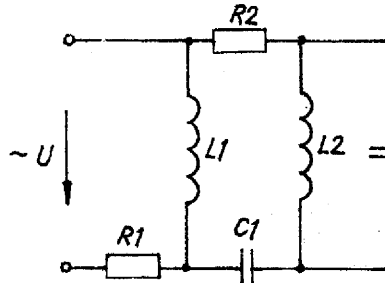


Рис. 2.25

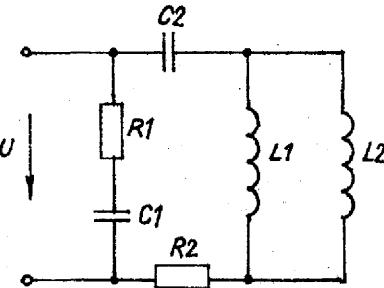


Рис. 2.26

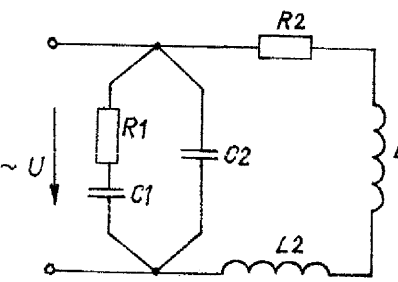


Рис. 2.21

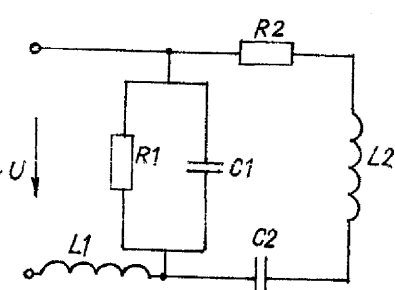


Рис. 2.22

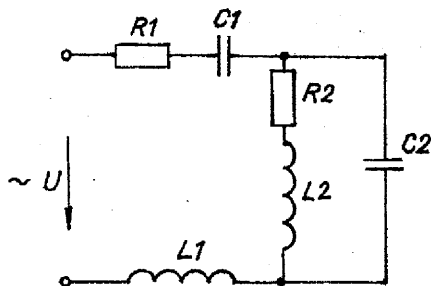


Рис. 2.27

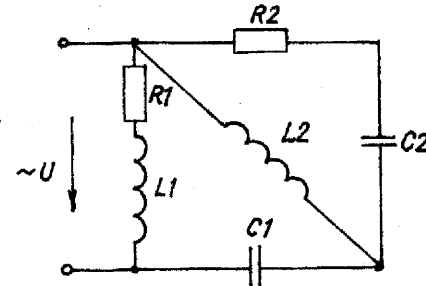


Рис. 2.28

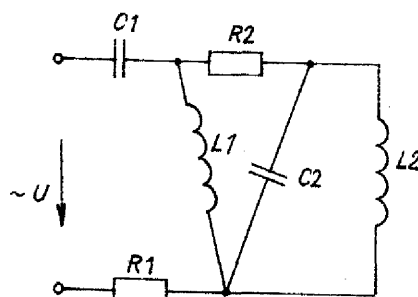


Рис. 2.23

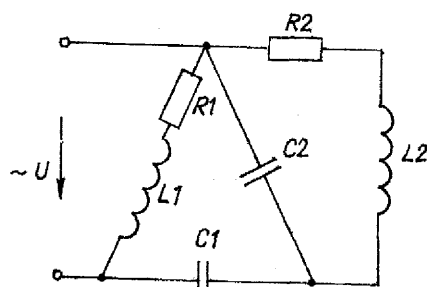


Рис. 2.24

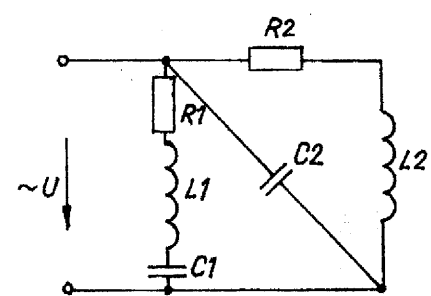


Рис. 2.29

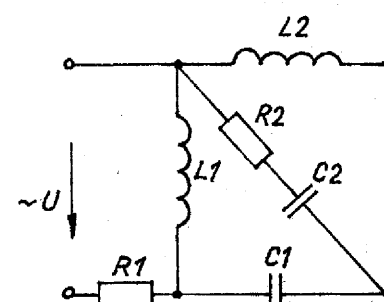


Рис. 2.30

2.2. Расчет трехфазных линейных электрических цепей переменного тока

Задание

В соответствии с данными таблицы 2.2 начертить схему соединения сопротивлений в трехфазной цепи.

Определить:

- 1) фазные токи;
- 2) линейные токи (при соединении треугольником);
- 3) ток в нулевом проводе (при соединении звездой);
- 4) активную, реактивную и полную мощность каждой фазы и всей трехфазной цепи;
- 5) угол сдвига фаз между током и напряжением в каждой фазе;
- 6) начертить в масштабе векторную диаграмму трехфазной цепи.

Таблица 2.2

Числовые параметры и схемы соединения трехфазных линейных электрических цепей переменного тока

	U _л B	U _ф B	Сопротивления фаз								Схема соединения	
			R _A Ом	R _B Ом	R _C Ом	X _{LA} Ом	X _{LB} Ом	X _{LC} Ом	X _{CA} Ом	X _{CB} Ом		
1	346	-	15,36	25,8	12,5	12,9	-	21,65	-	30,7	-	Y
2	127	10	8	-	-	-	15	-	6	5	Y	
3	380	-	19,05	8,45	28,4	11	-	33,8	-	7,1	-	Δ
4	-	127	26	36	-	-	16	45	36	-	-	Δ
5	220	31,2	13,5	43,3	21,7	-	62,3	-	13,5	-	Y	
6	380	-	12	-	10	16	-	-	18	15	Y	
7	38	-	1,88	3,8	3,1	0,68	-	2,57	-	2,2	-	Δ
8	220	-	-	12	-	-	16	28	35	-	-	Δ
9	-	100	18,12	8,2	17,68	8,48	-	17,68	-	5,75	-	Y
10	220	-	-	12	8	-	16	-	25	-	6	Y
11	-	127	6,14	2,87	1,37	5,15	-	3,76	-	4,1	-	Δ
12	-	220	-	6	10	18	-	-	8	15	-	Δ
13	1038	-	115	63	78	164	-	290	-	135	-	Y
14	-	220	4	-	8	3	-	6	-	12	-	Y
15	400	-	35,35	22,96	10,58	35,35	-	22,65	-	32,8	-	Δ
16	380	-	12	-	16	20	-	25	-	18	-	Δ
17	865	-	64,4	62,5	85,5	76,8	-	235	-	108,25	-	Y
18	-	220	36	-	-	-	20	50	48	65	-	Y
19	50	-	1,73	2,8	2,5	1	-	4,33	-	2,8	-	Δ
20	-	127	-	8	-	12	-	-	12	20	-	Δ

Продолжение таблицы 2.2

	U _л B	U _ф B	Сопротивления фаз								Схема соединения	
			R _A Ом	R _B Ом	R _C Ом	X _{LA} Ом	X _{LB} Ом	X _{LC} Ом	X _{CA} Ом	X _{CB} Ом		
21	220	-	50	72	-	-	32	90	72	-	-	Y
22	-	220	24	-	20	32	-	-	-	36	30	Y
23	380	-	100	80	-	-	-	-	150	-	60	50
24	-	127	-	-	120	80	-	-	160	-	250	60
25	380	-	-	-	60	100	180	-	-	80	150	-
26	380	-	40	-	80	30	-	-	60	-	120	-
27	-	220	120	-	160	200	-	-	250	-	180	-
28	380	-	360	-	-	-	200	500	480	650	-	Δ
29	220	-	80	-	-	120	-	-	-	120	200	Y
30	-	600	300	126	156	328	-	580	-	270	-	Δ

Примечание. При соединении звездой с нулевым проводом (Y) сопротивления с индексом A включаются в фазу А, с индексом В – в фазу В, с индексом С – в фазу С. При соединении треугольником (Δ) сопротивления с индексом A включаются в фазу AB, с индексом B – в фазу BC, с индексом C – в фазу CA и соответственно обозначаются.

Номер варианта соответствует номеру, под которым учащийся записан в журнале учебных занятий группы.

2.3. Исследование переходных процессов в электрических цепях

Задание

При замыкании или размыкания выключателя цепь (рис. 2.31–2.34), содержащая катушку индуктивности или конденсатор, подключается к источнику постоянного напряжения или отключается от него.

Определить практическую длительность переходного процесса, ток в цепи и энергию электрического или магнитного поля при $t = 3\tau$. Построить графики $i = f(t)$ и $e_L = f(t)$ для рис. 2.31–2.32 или $u_C = f(t)$ и $i = f(t)$ для рис. 2.33–2.34.

Данные для расчета взять из таблицы 2.3. Номер варианта определяется так же, как и в задаче 2.2.

Варианты схем электрических цепей при исследовании переходных процессов

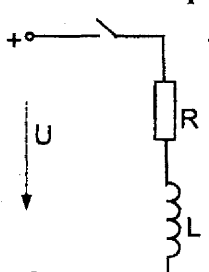


Рис. 2.31

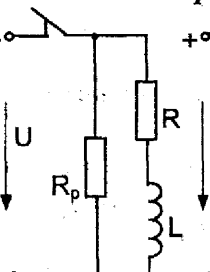


Рис. 2.32

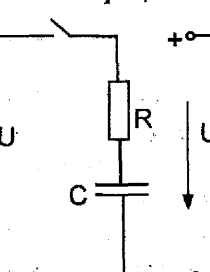


Рис. 2.33

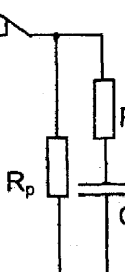


Рис. 2.34

Таблица 2.3

**Числовые параметры схем электрических цепей
при исследовании переходных процессов**

№ варианта	L Гн	C мкФ	R Ом	R _p Ом	U В	Номер рисунка
1	0,25	-	25	-	100	2.31
2	0,5	-	25	25	50	2.32
3	-	800	150	-	150	2.33
4	-	100	500	500	200	2.34
5	0,5	-	50	-	100	2.31
6	0,28	-	50	50	100	2.32
7	-	50	10 ⁴	-	50	2.33
8	-	300	50	50	25	2.34
9	0,6	-	30	-	60	2.31
10	0,9	-	300	150	450	2.32
11	-	50	100	-	50	2.33
12	-	150	100	400	50	2.34
13	0,5	-	10	-	100	2.31
14	0,16	-	60	20	80	2.32
15	-	20	10 ³	-	100	2.33
16	-	15	600	1200	180	2.34
17	0,5	-	10	-	150	2.31
18	0,12	-	12	0	60	2.32
19	-	100	2000	-	300	2.33
20	-	30	300	400	400	2.34
21	0,8	-	70	-	70	2.31
22	0,75	-	140	60	200	2.32
23	-	50	10 ⁴	-	50	2.33
24	-	10	2·10 ⁶	10 ⁶	300	2.34
25	1,25	-	25	-	50	2.31
26	0,8	-	40	60	100	2.32
27	-	40	10 ⁴	-	200	2.33
28	-	100	2000	1000	300	2.34
29	0,5	-	10	-	50	2.31
30	-	25	3·10 ⁴	-	300	2.33

2.4. Методика расчета однофазных линейных электрических цепей переменного тока

К зажимам электрической цепи, схема замещения которой приведена на рис. 2.35, подключен источник синусоидального напряжения $u = 311 \cdot \sin(\omega t + 45^\circ)$ В частотой $f = 50$ Гц.

Параметры элементов схемы замещения: $R_1 = 5$ Ом, $R_2 = 8$ Ом,

$$L_1 = 39,8 \text{ мГн}, L_2 = 19 \text{ мГн}, C_1 = 162,5 \text{ мкФ}, C_2 = 192 \text{ мкФ}.$$

Выполнить следующее:

- 1) определить реактивные сопротивления элементов цепи;
- 2) определить действующие значения токов во всех ветвях цепи;
- 3) записать уравнение мгновенного значения тока источника;
- 4) составить баланс активных и реактивных мощностей;
- 5) построить векторную диаграмму токов, совмещенную с топографической векторной диаграммой напряжений.

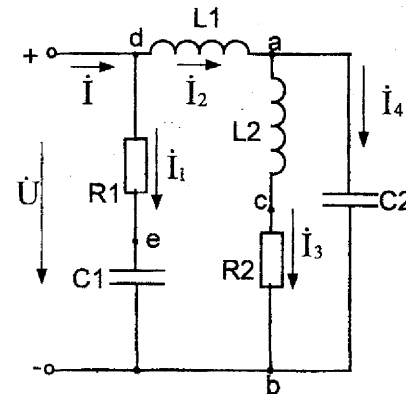


Рис. 2.35

Дано: $R_1 = 5$ Ом, $R_2 = 8$ Ом
 $L_1 = 39,8 \text{ мГн}, L_2 = 19 \text{ мГн}$
 $C_1 = 162,5 \text{ мкФ}, C_2 = 192 \text{ мкФ}$

Определить: $X_{L1}, X_{L2}, X_{C1}, X_{C2}$,
 I, I_1, I_2, I_3, I_4, i

- 1) Реактивные сопротивления элементов цепи:

$$X_{L1} = \omega L_1 = 2\pi f L_1 = 314 \cdot 39,8 \cdot 10^{-3} = 12,5 \text{ Ом};$$

$$X_{L2} = \omega L_2 = 2\pi f L_2 = 314 \cdot 19 \cdot 10^{-3} = 6 \text{ Ом};$$

$$X_{C1} = \frac{1}{\omega C_1} = \frac{1}{2\pi f C_1} = \frac{1 \cdot 10^6}{314 \cdot 162,5} = 19,6 \text{ Ом}$$

$$X_{C2} = \frac{1}{\omega C_2} = \frac{1}{2\pi f C_2} = \frac{1 \cdot 10^6}{314 \cdot 192} = 16,6 \text{ Ом}$$

- 2) Расчет токов в ветвях цепи выполняем методом эквивалентных преобразований.

Представим схему, приведенную на рис. 2.35, в следующем виде:

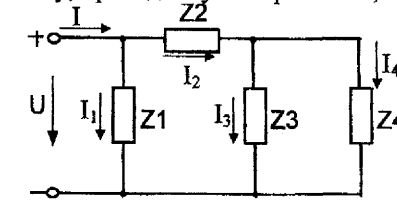


Рис 2.36

Находим комплексные сопротивления ветвей, затем участков цепи и всей цепи:

$$Z_1 = R_1 - jX_{C1} = 5 - j \cdot 19,6 = \sqrt{5^2 + 19,6^2} \cdot e^{j \arctg \frac{-19,6}{5}} = 20,2 \cdot e^{-j75,6^\circ} \text{ Ом};$$

$$Z_2 = jX_{L1} = j \cdot 12,5 = 12,5 e^{j90^\circ} \text{ Ом};$$

$$Z_3 = R_2 + jX_{L2} = 8 + j \cdot 6 = 10 e^{j37^\circ} \text{ Ом};$$

$$Z_4 = -jX_{C2} = -j \cdot 16,6 = 16,6 e^{j90^\circ} \text{ Ом};$$

$$Z_{34} = \frac{Z_3 \cdot Z_4}{Z_3 + Z_4} = \frac{10 e^{j37^\circ} \cdot 16,6 e^{-j90^\circ}}{8 + j6 - j16,6} = \frac{166 e^{-j53^\circ}}{8 - j10,6} = \frac{166 e^{-j53^\circ}}{13,3 e^{-j53^\circ}} = 12,5 \text{ Ом};$$

$$Z_{234} = Z_2 + Z_{34} = j \cdot 12,5 + 12,5 = 17,7 e^{j45^\circ} \text{ Ом};$$

$$Z_{\text{экв}} = \frac{Z_1 \cdot Z_{234}}{Z_1 + Z_{234}} = \frac{20,2 e^{-j75,6^\circ} \cdot 17,7 e^{j45^\circ}}{5 - j19,6 + j12,5 + 12,5} = \frac{357,54 e^{-j30,6^\circ}}{17,5 - j7,1} = \frac{357,54 e^{-j30,6^\circ}}{18,89 e^{-j22,1^\circ}} = 18,92 e^{-j8,5^\circ} \text{ Ом}$$

Выразим действующее значение напряжений в комплексной форме:

$$\dot{U} = \frac{U_m}{\sqrt{2}} e^{j\Psi_0} = \frac{311}{\sqrt{2}} e^{j45^\circ} = 220 e^{j45^\circ} \text{ В}$$

Вычисляем токи ветвей и общий ток цепи:

$$I_1 = \frac{\dot{U}}{Z_1} = \frac{220 e^{j45^\circ}}{20,2 e^{-j75,6^\circ}} = 10,9 e^{j120,6^\circ} \text{ А};$$

$$I_2 = \frac{\dot{U}}{Z_{234}} = \frac{220 e^{j45^\circ}}{17,7 e^{j45^\circ}} = 12,4 \text{ А};$$

$$I = \frac{\dot{U}}{Z_{\text{экв}}} = \frac{220 e^{j45^\circ}}{18,92 e^{-j8,5^\circ}} = 11,62 e^{j53,5^\circ} \text{ А или}$$

$$I = I_1 + I_2 = 10,9 e^{j120,6^\circ} + 12,4 = 10,9 \cdot \cos 120,6^\circ + j10,9 \cdot \sin 120,6^\circ + 12,4 = 6,85 + j9,4 = 11,6 e^{j54^\circ} \text{ А}$$

Для определения токов параллельных ветвей I_3 и I_4 рассчитаем напряжение на зажимах этих ветвей.

$$\dot{U}_{ab} = \dot{U}_{34} = I_2 \cdot Z_{34} = 12,4 \cdot 12,5 = 155 \text{ В};$$

$$I_3 = \frac{\dot{U}_{ab}}{Z_3} = \frac{155}{10 e^{j37^\circ}} = 15,5 e^{-j37^\circ} \text{ А};$$

$$I_4 = \frac{\dot{U}_{ab}}{Z_4} = \frac{155}{16,6 e^{-j90^\circ}} = 9,35 e^{j90^\circ} \text{ А};$$

3) Уравнение мгновенного значения тока источника:

$$i = I_M \sin(\omega t + \psi_i)$$

$$i = 11,6 \sqrt{2} \sin(\omega t + 54^\circ) = 16,3 \sin(314t + 54^\circ) \text{ А}$$

4) Комплексная мощность цепи:

$$\bar{S} = \dot{U} \dot{I}^* = 220 e^{j45^\circ} \cdot 11,6 e^{-j54^\circ} = 2550 e^{-j9^\circ} = 2510 - j400 \text{ Вт}\cdot\text{А};$$

где $S_{\text{ист}} = 2550 \text{ Вт}\cdot\text{А},$

$P_{\text{ист}} = 2510 \text{ Вт},$

$Q_{\text{ист}} = -400 \text{ вар}$ (знак минус определяет емкостный характер нагрузки в целом).

Активная $P_{\text{пр}}$ и реактивная $Q_{\text{пр}}$ мощности приемников:

$$P_{\text{пр}} = I_1^2 R_1 + I_3^2 R_2 = 10,9^2 \cdot 5 + 15,5^2 \cdot 8 = 2510 \text{ Вт};$$

$$Q_{\text{пр}} = I_1^2 (-x_{C1}) + I_2^2 (x_{L1}) + I_3^2 (x_{L2}) + I_4^2 (-x_{C2}) = 10,9^2 \cdot (-19,6) + 12,4^2 \cdot 12,5 + 15,5^2 \cdot 6 + 9,35^2 \cdot (-16,6) = -400 \text{ вар.}$$

Баланс мощностей выполняется:

$$P_{\text{ист}} = P_{\text{пр}}; \quad Q_{\text{ист}} = Q_{\text{пр}}$$

или в комплексной форме:

$$\bar{S} = \bar{S}_1 + \bar{S}_2 + \bar{S}_3 + \bar{S}_4 = \dot{U}_1 \dot{I}_1^* + \dot{U}_2 \dot{I}_2^* + \dot{U}_3 \dot{I}_3^* + \dot{U}_4 \dot{I}_4^*;$$

$$\text{где } \dot{U}_2 = I_2 \cdot Z_2 = 12,4 \cdot j12,5 = j155 \text{ В} = 155 e^{j90^\circ} \text{ В};$$

$$\dot{U}_3 = \dot{U}_4 = \dot{U}_{34}$$

$$2510 - j400 = 220 e^{j45^\circ} \cdot 10,9 e^{-j120,6^\circ} + 155 e^{j90^\circ} \cdot 12,4 + 155 \cdot 15,5 e^{j37^\circ} + 155 \cdot 9,35 e^{-j90^\circ};$$

$$2510 - j400 = 596,4 - j2322,7 + j1922 + 1918,7 + j1445,9 - j1449,3;$$

2510 - j 400 = 2515 - j 403,9 – баланс практически сходится.

5) Напряжения на элементах схемы замещения цепи:

$$U_{de} = I_1 R_1 = 10,9 \cdot 5 = 54,5 \text{ В};$$

$$U_{eb} = I_1 x_{c1} = 10,9 \cdot 19,6 = 214 \text{ В};$$

$$U_{da} = U_2 = 155 \text{ В};$$

$$U_{ac} = I_3 x_{L2} = 15,5 \cdot 6 = 93 \text{ В};$$

$$U_{cb} = I_3 R_2 = 15,5 \cdot 8 = 124 \text{ В}$$

6) Строим топографическую векторную диаграмму на комплексной плоскости. Выбираем масштаб: $M_I = 2 \text{ А/см}$, $M_U = 20 \text{ В/см}$.

Определяем длины векторов токов и напряжений:

$$l_1 = \frac{I}{M_1} = \frac{11,6}{2} = 5,8 \text{ см};$$

$$l_U = \frac{U}{M_U} = \frac{220}{20} = 11 \text{ см};$$

$$l_{11} = \frac{I_1}{M_1} = \frac{10,9}{2} = 5,45 \text{ см};$$

$$l_{U_{de}} = \frac{U_{de}}{M_U} = \frac{54,5}{20} = 2,73 \text{ см};$$

$$l_{12} = \frac{I_2}{M_1} = \frac{12,4}{2} = 6,2 \text{ см};$$

$$l_{U_{eb}} = \frac{U_{eb}}{M_U} = \frac{214}{20} = 10,7 \text{ см};$$

$$l_{13} = \frac{I_3}{M_1} = \frac{15,5}{2} = 7,75 \text{ см};$$

$$l_{U_{da}} = \frac{U_{da}}{M_U} = \frac{155}{20} = 7,75 \text{ см};$$

$$l_{14} = \frac{I_4}{M_1} = \frac{9,35}{2} = 4,68 \text{ см};$$

$$l_{U_{ac}} = \frac{U_{ac}}{M_U} = \frac{93}{20} = 4,65 \text{ см};$$

$$l_{U_{ab}} = \frac{U_{ab}}{M_U} = \frac{155}{20} = 7,75 \text{ см};$$

$$l_{U_{cb}} = \frac{U_{cb}}{M_U} = \frac{124}{20} = 6,2 \text{ см}$$

На комплексной плоскости в масштабе откладываем векторы токов в соответствии с расчетными значениями, при этом положительные фазовые углы отсчитываем от оси (+1) против часовой стрелки, а отрицательные – по часовой стрелке. Так, вектор тока $\dot{I}_1 = 10,9 e^{j120,6^\circ} \text{ А}$ повернут относительно оси (+1) на угол $120,6^\circ$ и длина его $l_{11} = 5,45 \text{ см}$, вектор тока $\dot{I}_2 = 12,4 \text{ А}$ совпадает с действительной осью и длина его $l_{12} = 6,2 \text{ см}$ и т. д.

Топографическая векторная диаграмма напряжений характерна тем, что каждой точке диаграммы соответствует определенная точка электрической цепи. Построение векторов напряжений ведем, соблюдая порядок расположения элементов цепи и ориентируя векторы напряжений относительно векторов тока: на активном сопротивлении ток и напряжение совпадают по фазе, на индуктивном элементе напряжение опережает ток на 90° , а на емкостном напряжение отстает от тока на 90° . Направление обхода участков цепи выбираем, как принято, противоположно положительному направлению токов. Обход начинаем от точки "b", потенциал которой принимаем за исходный ($\phi_b = 0$). Точку "b" помещаем в начало координат комплексной плоскости. При переходе от точки "b" к точке "e" потенциал повышается на величину падения напряжения на емкостном сопротивлении x_{C1} . Вектор этого напряжения \dot{U}_{eb} отстает по фазе от вектора тока \dot{I}_1 на 90° . Конец вектора \dot{U}_{eb} определяет потенциал точки "e". Потенциал точки "d" выше, чем потенциал точки "e", на величину падения напряжения $U_{de} = I_1 R_1$. Вектор \dot{U}_{de} откладываем от точки "e" параллельно вектору тока \dot{I}_1 . Конец \dot{U}_{de} определяет потенциал точки "d". Соединив отрезком прямой "b" и "d", получим вектор напряжения на зажимах цепи

$$\dot{U} = \dot{U}_{db} = 220 e^{j45^\circ} \text{ В.}$$

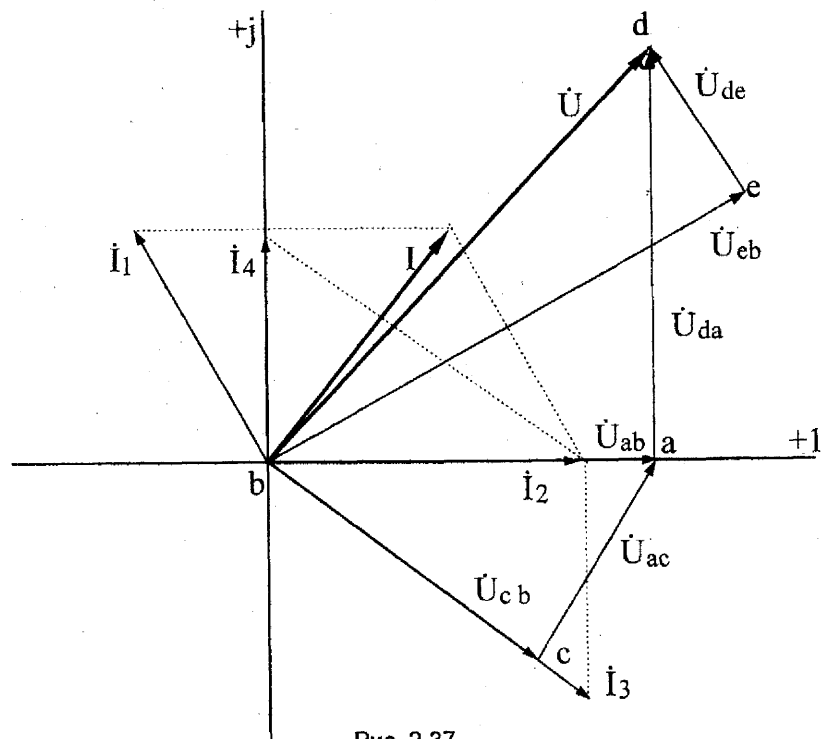


Рис. 2.37

Аналогично строим векторы напряжений других участков цепи, сохранив обход навстречу току. От точки "b" проводим вектор \dot{U}_{cb} параллельно вектору \dot{I}_3 . Конец вектора \dot{U}_{cb} определяет потенциал точки "c". От точки "c" откладываем вектор \dot{U}_{ac} , опережающий вектор тока \dot{I}_3 на 90° , т. к. участок "ac" содержит индуктивное сопротивление x_{L2} . Затем от точки "a" откладываем вектор \dot{U}_{da} , опережающий вектор тока \dot{I}_2 на 90° . Конец \dot{U}_{da} определяет потенциал точки "d".

Соединив отрезком прямой "b" и "a", получим вектор напряжений $\dot{U}_{ab} = 155 \text{ В.}$

2.5. Методика расчета трехфазных электрических цепей переменного тока

2.5.1. Методика расчета трехфазных электрических цепей переменного тока при соединении потребителей звездой

В цепи, изображенной на схеме (рис. 2.38), потребители трехфазного тока соединены звездой.

Известно линейное напряжение $U_L = 380$ В и сопротивления фаз: $R_A = 11$ Ом, $X_{LA} = 34$ Ом, $X_{CA} = 53$ Ом, $R_B = 11$ Ом, $X_{LB} = 19$ Ом, $X_{CC} = 22$ Ом.

Определить полные сопротивления фаз, фазные токи и ток в нейтральном проводе, активную, реактивную и полную мощности каждой фазы и всей цепи.

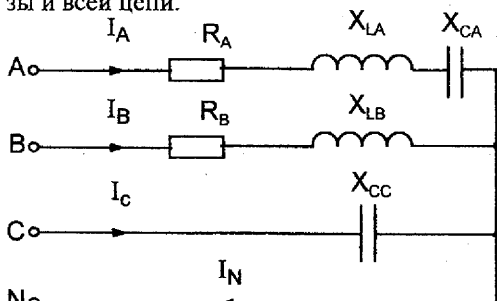


Рис. 2.38

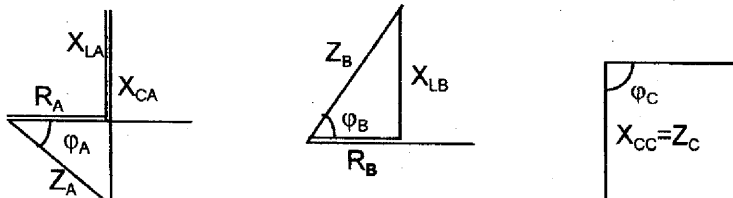
ГРАФОАНАЛИТИЧЕСКИЙ МЕТОД РАСЧЕТА (расчет с применением векторных диаграмм)

1. При соединении звездой $U_L = \sqrt{3} U_\Phi$, поэтому

$$U_\Phi = \frac{U_L}{\sqrt{3}} = \frac{380}{\sqrt{3}} = 220 \text{ В}$$

Так как есть нейтральный провод, то $U_A = U_B = U_C = 220$ В.

2. Вычисляем сопротивление фаз и углы φ определяем по диаграммам сопротивлений.



$$Z_A = \sqrt{R_A^2 + (X_{LA} - X_{CA})^2} = \sqrt{11^2 + (34 - 53)^2} = 22 \text{ Ом}$$

$$\operatorname{tg} \varphi_A = \frac{X_{LA} - X_{CA}}{R_A} = \frac{-19}{11} = -1,73$$

$\varphi_A = \arctg (-1,73) = -60^\circ$ – в фазе А напряжение отстает от тока на 60° .

$$Z_B = \sqrt{R_B^2 + X_{LB}^2} = \sqrt{11^2 + 19^2} = 22 \text{ Ом}$$

$$\operatorname{tg} \varphi_B = \frac{X_{LB}}{R_B} = \frac{19}{11} = 1,73$$

$\varphi_B = \arctg 1,73 = 60^\circ$ – в фазе В напряжение опережает ток на 60°

$$Z_C = X_{CC} = 22 \text{ Ом}$$

$\varphi_C = -90^\circ$ – в фазе С напряжение отстает от тока на 90° , т. к. в цепь включен конденсатор.

3. Фазные токи можно определить следующим образом:

$$I_A = \frac{U_A}{Z_A} = \frac{220}{22} = 10 \text{ А}; \quad \varphi_A = -60^\circ;$$

$$I_B = \frac{U_B}{Z_B} = \frac{220}{22} = 10 \text{ А}; \quad \varphi_B = 60^\circ;$$

$$I_C = \frac{U_C}{Z_C} = \frac{220}{22} = 10 \text{ А}; \quad \varphi_C = -90^\circ.$$

4. Чтобы вычислить ток в нейтральном проводе, нужно построить векторную диаграмму цепи.

На векторной диаграмме под углом 120° друг относительно друга строятся векторы фазных напряжений одинаковой длины.

Векторы фазных токов строятся в масштабе под вычисленными углами φ по отношению к фазным напряжениям. В фазе А нагрузка носит емкостный характер, значит, ток I_A опережает напряжение U_A на угол φ_A .

В фазе В нагрузка индуктивный характер, следовательно, ток I_B отстает от напряжения U_B на угол φ_B .

В фазе С нагрузка емкостная, следовательно, ток I_C опережает напряжение U_C на угол $\varphi_C = 90^\circ$. $M_I = 2,5 \text{ А/см}$ – масштаб.

$$l_{IA} = \frac{I_A}{M_I} = \frac{10}{2,5} = 4 \text{ см.} \quad l_{IB} = \frac{I_B}{M_I} = \frac{10}{2,5} = 4 \text{ см.}$$

$$l_{IC} = \frac{I_C}{M_I} = \frac{10}{2,5} = 4 \text{ см.}$$

Ток в нейтральном проводе равен геометрической (векторной) сумме фазных токов:

$$\bar{I}_N = \bar{I}_A + \bar{I}_B + \bar{I}_C$$

Измерив длину вектора I_{IN} , находим ток $I_N = I_{IN} \cdot M_1$

$$I_N = 5,7 \cdot 2,5 = 14,25 \text{ А.}$$

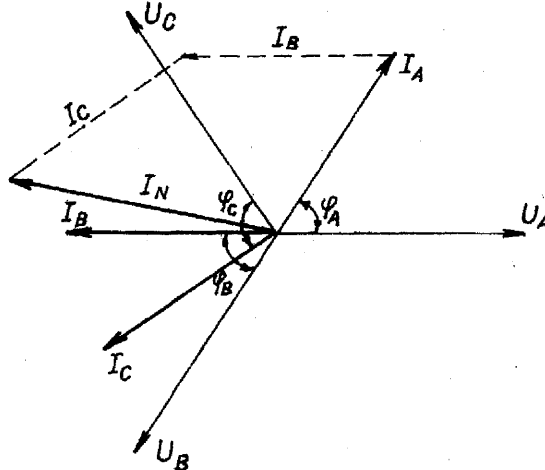


Рис. 2.39

5. Определим активные мощности фаз:

$$P_A = U_A \cdot I_A \cdot \cos\phi_A = 220 \cdot 10 \cdot \cos(-60^\circ) = 1100 \text{ Вт},$$

$$P_B = U_B \cdot I_B \cdot \cos\phi_B = 220 \cdot 10 \cdot \cos 60^\circ = 1100 \text{ Вт},$$

$$P_C = U_C \cdot I_C \cdot \cos\phi_C = 220 \cdot 10 \cdot \cos(-90^\circ) = 0 \text{ Вт}$$

6. Активная мощность трехфазной цепи:

$$P = P_A + P_B + P_C = 1100 + 1100 = 2200 \text{ Вт}$$

7. Определяем реактивные мощности фаз:

$$Q_A = U_A \cdot I_A \cdot \sin\phi_A = 220 \cdot 10 \cdot \sin(-60^\circ) = -1905 \text{ вар},$$

$$Q_B = U_B \cdot I_B \cdot \sin\phi_B = 220 \cdot 10 \cdot \sin 60^\circ = 1905 \text{ вар},$$

$$Q_C = U_C \cdot I_C \cdot \sin\phi_C = 220 \cdot 10 \cdot \sin(-90^\circ) = -2200 \text{ вар.}$$

8. Реактивная мощность трехфазной цепи:

$$Q = Q_A + Q_B + Q_C = -2200 \text{ вар.}$$

9. Вычисляем полную мощность каждой фазы и всей цепи:

$$S_A = U_A \cdot I_A = 220 \cdot 10 = 2200 \text{ В·А};$$

$$S_B = U_B \cdot I_B = 220 \cdot 10 = 2200 \text{ В·А};$$

$$S_C = U_C \cdot I_C = 220 \cdot 10 = 2200 \text{ В·А};$$

$$S = \sqrt{P^2 + Q^2} = \sqrt{2200^2 + 2200^2} = 3111 \text{ В·А}$$

Символический метод расчета

Строгий аналитический расчет трехфазных цепей производится символическим методом, т. е. в комплексной форме.

1. Выразим в комплексной форме фазные напряжения:

$$\dot{U}_A = U_\Phi e^{j0^\circ} \text{ В;}$$

$$\dot{U}_B = U_\Phi e^{-j120^\circ} = 220e^{-j120^\circ} \text{ В;}$$

$$\dot{U}_C = U_\Phi e^{j120^\circ} = 220e^{j120^\circ} \text{ В}$$

2. Выразим сопротивления фаз в комплексной форме:

$$Z_A = R_A + jX_{LA} - jX_{CA} = 11 + j34 - j53 = (11 - j19) \text{ Ом;}$$

$$Z_B = R_B + jX_{LB} = (11 + j19) \text{ Ом;}$$

$$Z_C = -jX_{CC} = (-j22) \text{ Ом}$$

Переведем комплексные сопротивления фаз из алгебраической формы в показательную.

$$Z_A = 11 - j19 = \sqrt{11^2 + 19^2} \cdot e^{j\arctg \frac{-19}{11}} = 22e^{-j60^\circ} \text{ Ом,}$$

где $Z_A = 22 \text{ Ом}$ – полное сопротивление фазы A;

$\phi_A = -60^\circ$ – угол сдвига фаз между током и напряжением в фазе A.

Аналогично определяем:

$$Z_B = 11 + j19 = 22e^{j60^\circ} \text{ Ом,}$$

где $Z_B = 22 \text{ Ом}$; $\phi_B = 60^\circ$;

$$Z_C = -j22 = 22e^{-j90^\circ} \text{ Ом,}$$

где $Z_C = 22 \text{ Ом}$, $\phi_C = -90^\circ$

3. Находим комплексы фазных токов:

$$\dot{I}_A = \frac{\dot{U}_A}{Z_A} = \frac{220e^{j0^\circ}}{22e^{-j60^\circ}} = 10e^{j60^\circ} \text{ А,}$$

модуль $I_A = 10 \text{ А}$, аргумент $\Psi_A = 60^\circ$,

$$\dot{I}_B = \frac{\dot{U}_B}{Z_B} = \frac{220e^{-j120^\circ}}{22e^{j60^\circ}} = 10e^{-j180^\circ} \text{ А,}$$

модуль $I_B = 10 \text{ А}$, аргумент $\Psi_B = -180^\circ$,

$$I_C = \frac{U_C}{Z_C} = \frac{220e^{j120^\circ}}{22e^{-j90^\circ}} = 10e^{j210^\circ} \text{ A},$$

модуль $I_C = 10 \text{ A}$, аргумент $\Psi_C = 210^\circ$.

Находим алгебраическую форму записи комплексов фазных токов:

$$I_A = 10e^{j60^\circ} = 10\cos 60^\circ + j10\sin 60^\circ = (5 + j8,66) \text{ A};$$

$$I_B = 10e^{-j180^\circ} = 10\cos(-180^\circ) + j10\sin(-180^\circ) = -10 \text{ A};$$

$$I_C = 10e^{j210^\circ} = 10\cos 210^\circ + j10\sin 210^\circ = (-8,66 - j5) \text{ A}.$$

4. Вычисляем ток в нейтральном проводе:

$$I_N = I_A + I_B + I_C = 5 + j8,66 - 10 - 8,66 - j5 = -13,66 + j3,66 = 14,14e^{j165^\circ} \text{ A}.$$

Модуль $I_N = 14,14 \text{ A}$, аргумент $\Psi_N = 165^\circ$.

5. Вычисляем мощности фаз и всей цепи:

$$\tilde{S}_A = U_A \cdot I_A = 220 \cdot 10e^{j60^\circ} = 2200e^{j60^\circ} = 2200 \cdot \cos(-60^\circ) + j2200 \cdot \sin(-60^\circ) = (1100 - j1905) \text{ B.A},$$

где $S_A = 2200 \text{ B.A}$; $P_A = 1100 \text{ Вт}$; $Q_A = -1905 \text{ вар}$;

$$\tilde{S}_B = U_B \cdot I_B = 220e^{-j120^\circ} \cdot 10e^{j180^\circ} = 2200e^{j60^\circ} = 2200 \cdot \cos 60^\circ + j2200 \cdot \sin 60^\circ = (1100 + j1905) \text{ B.A},$$

где $S_B = 2200 \text{ B.A}$; $P_B = 1100 \text{ Вт}$; $Q_B = 1905 \text{ вар}$;

$$\tilde{S}_C = U_C \cdot I_C = 220e^{j120^\circ} \cdot 10e^{-j210^\circ} = 2200e^{-j90^\circ} = 2200 \cdot \cos(-90^\circ) + j2200 \cdot \sin(-90^\circ) = (-j2200) \text{ B.A},$$

где $S_C = 2200 \text{ B.A}$; $P_C = 0 \text{ Вт}$; $Q_C = -2200 \text{ вар}$. т о гд а

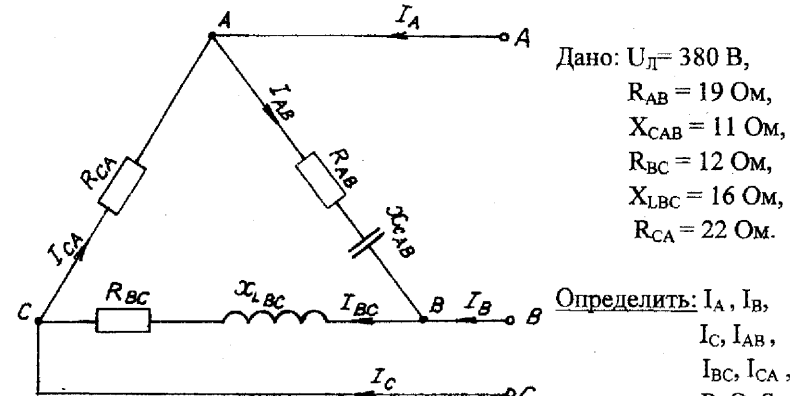
$$\tilde{S} = \tilde{S}_A + \tilde{S}_B + \tilde{S}_C = 1100 - j1905 + 1100 + j1905 - j2200 = 2200 - j2200 = 3111e^{-j45^\circ} \text{ B.A},$$

где $S = 3111 \text{ B.A}$; $P = 2200 \text{ Вт}$, $Q = -2200 \text{ вар}$.

2.5.2. Методика расчета трехфазных электрических цепей переменного тока при соединении треугольником

В цепи, изображенной на схеме (рис. 2.40), потребители соединены треугольником. Известно линейное напряжение $U_L = 380 \text{ В}$ и сопротивления фаз $R_{AB} = 19 \text{ Ом}$, $X_{CAB} = 11 \text{ Ом}$, $R_{BC} = 12 \text{ Ом}$, $X_{LBC} = 16 \text{ Ом}$, $R_{CA} = 22 \text{ Ом}$.

Определить фазные, линейные токи, мощности активные, реактивные, полные мощности каждой фазы и всей цепи. Построить векторную диаграмму цепи.



Дано: $U_L = 380 \text{ В}$,
 $R_{AB} = 19 \text{ Ом}$,
 $X_{CAB} = 11 \text{ Ом}$,
 $R_{BC} = 12 \text{ Ом}$,
 $X_{LBC} = 16 \text{ Ом}$,
 $R_{CA} = 22 \text{ Ом}$.

Определить: I_A , I_B ,
 I_C , I_{AB} ,
 I_{BC} , I_{CA} ,
 P , Q , S

Рис. 2.40

При соединении трехфазной цепи треугольником расчет будем вести символьическим методом.

1. Модули фазных напряжений при соединении треугольником равны линейным напряжениям

$$U_L = U_\phi = 380 \text{ В}, \text{ то есть } U_{AB} = U_{BC} = U_{CA} = 380 \text{ В}.$$

Комплексы данных напряжений запишем из условия, что вектор U_{AB} совмещен с действительной осью комплексной плоскости,

$$\dot{U}_{AB} = U_L e^{j0^\circ} = 380e^{j0^\circ} \text{ В};$$

$$\dot{U}_{BC} = U_L e^{-j120^\circ} = 380e^{-j120^\circ} \text{ В};$$

$$\dot{U}_{CA} = U_L e^{j120^\circ} = 380e^{j120^\circ} \text{ В}$$

2. Вычислим комплексы фазных сопротивлений:

$$Z_{AB} = R_{AB} - jX_{CAB} = 19 - j11 = 22e^{-j30^\circ} \text{ Ом},$$

где $Z_{AB} = 22 \text{ Ом}$, $\Phi_{AB} = -30^\circ$;

$$Z_{BC} = R_{BC} + jX_{LBC} = 12 + j16 = 20e^{+j53^\circ} \text{ Ом},$$

где $Z_{BC} = 20 \text{ Ом}$, $\Phi_{BC} = 53^\circ$;

$$Z_{CA} = R_{CA} = 22 \text{ Ом},$$

где $Z_{CA} = 22 \text{ Ом}$, $\Phi_{CA} = 0^\circ$

3. Определяем фазные токи:

$$I_{AB} = \frac{U_{AB}}{Z_{AB}} = \frac{380e^{j0^\circ}}{22e^{-j30^\circ}} = 17,27e^{j30^\circ} = (14,96 + j8,64) A,$$

модуль $I_{AB} = 17,27 A$, $\Psi_{AB} = 30^\circ$;

$$I_{BC} = \frac{U_{BC}}{Z_{BC}} = \frac{380e^{-j120^\circ}}{20e^{j53^\circ}} = 19e^{-j173^\circ} = (-18,86 - j2,32) A,$$

модуль $I_{BC} = 19 A$, $\Psi_{BC} = -173^\circ$;

$$I_{CA} = \frac{U_{CA}}{Z_{CA}} = \frac{380e^{j120^\circ}}{22e^{j0^\circ}} = 17,27e^{j120^\circ} = (-8,64 + j14,96) A,$$

модуль $I_{CA} = 17,27 A$, $\Psi_{CA} = 120^\circ$.

4. Находим линейные токи из уравнений, записанных по первому закону Кирхгофа для узлов B, A, C (рис. 2.40).

$$I_A = I_{AB} - I_{CA} = 14,96 + j8,64 + 8,64 - j14,96 = 23,6 - j6,32 = 24,43e^{-j15^\circ} A;$$

модуль $I_A = 24,43 A$, аргумент $\Psi_A = -15^\circ$;

$$I_B = I_{BC} - I_{AB} = -18,86 - j2,32 - 14,96 - j8,64 = -33,82 - j10,96 = 35,55e^{j198^\circ} A;$$

модуль $I_B = 35,55 A$, аргумент $\Psi_B = 198^\circ$;

$$I_C = I_{CA} - I_{BC} = -8,64 + j14,96 + 18,86 + j2,32 = 10,22 + j17,28 = 20,1e^{j59,4^\circ} A,$$

модуль $I_C = 20,1 A$, аргумент $\Psi_C = 59,4^\circ$.

5. Вычисляем мощности каждой фазы и всей цепи:

$$\tilde{S}_{AB} = U_{AB} \cdot I_{AB} = 380e^{j0^\circ} \cdot 17,27e^{-j30^\circ} = 6563e^{-j30^\circ} = (5684 - j3282) B \cdot A,$$

где $S_{AB} = 6563 B \cdot A$, $P_{AB} = 5684 Bt$, $Q_{AB} = -3282 \text{ вар}$;

$$\tilde{S}_{BC} = U_{BC} \cdot I_{BC} = 380e^{-j120^\circ} \cdot 19e^{-j173^\circ} = 7220e^{j53^\circ} = (4345 + j5766) B \cdot A,$$

где $S_{BC} = 7200 B \cdot A$, $P_{BC} = 4345 Bt$, $Q_{BC} = 5766 \text{ вар}$;

$$\tilde{S}_{CA} = U_{CA} \cdot I_{CA} = 380e^{j120^\circ} \cdot 17,27e^{-j120^\circ} = 6563e^{j0^\circ} = 6563 B \cdot A,$$

где $S_{CA} = P_{CA} = 6563 Bt$, $Q_{CA} = 0 \text{ вар}$;

$$\tilde{S} = \tilde{S}_{AB} + \tilde{S}_{BC} + \tilde{S}_{CA} = 5684 - j3282 + 4345 + j5766 + 6563 = 16592 + j2484 = 16777e^{j8,5^\circ} B \cdot A,$$

где $S = 16777 B \cdot A$, $P = 16592 Bt$, $Q = 2484 \text{ вар}$.

6. Строим в масштабе векторную диаграмму напряжений и токов.

Векторы фазных токов \bar{I}_{AB} , \bar{I}_{BC} , \bar{I}_{CA} строятся под углами Ψ_{AB} , Ψ_{BC} , Ψ_{CA} к действительной оси. К концам векторов \bar{I}_{AB} , \bar{I}_{BC} , \bar{I}_{CA} пристраиваются отрицательные фазные токи согласно уравнениям:

$$\bar{I}_A = \bar{I}_{AB} - \bar{I}_{CA}$$

$$\bar{I}_B = \bar{I}_{BC} - \bar{I}_{AB}$$

$$\bar{I}_C = \bar{I}_{CA} - \bar{I}_{BC}$$

Замыкающие векторные треугольники векторов \bar{I}_{AB} , \bar{I}_{BC} , \bar{I}_{CA} представляют в выбранном масштабе линейные токи.

Выбираем масштаб: $M_I = 4 A/cm$.

$$I_{AB} = \frac{I_{AB}}{M_I} = \frac{17,27}{4} = 4,3 \text{ см}$$

$$I_{BC} = \frac{I_{BC}}{M_I} = \frac{19}{4} = 4,75 \text{ см}$$

$$I_{CA} = \frac{I_{CA}}{M_I} = \frac{17,27}{4} = 4,3 \text{ см}$$

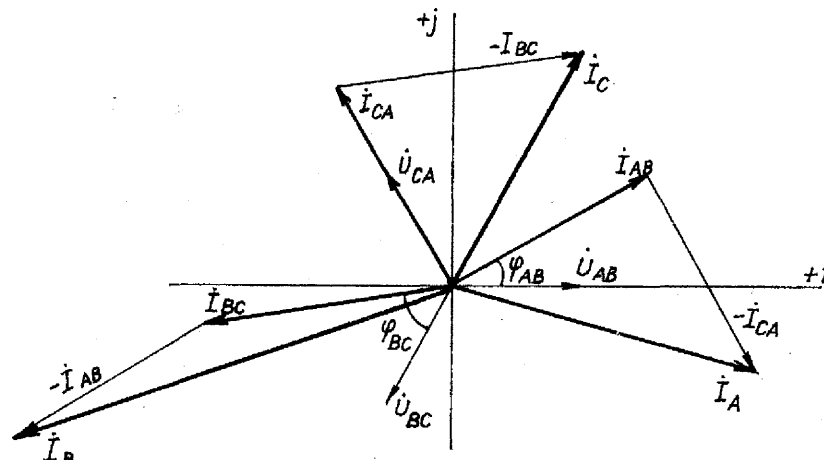


Рис. 2.41

2.6. Методика исследования переходных процессов в электрических цепях

2.6.1. Методика исследования переходных процессов в электрических цепях, содержащих катушку индуктивности

Цепь содержит катушку с сопротивлением $R=10 \text{ Ом}$ и индуктивностью $L=200 \text{ мГн}$, $R_p=10 \text{ Ом}$, напряжение источника питания $U=60 \text{ В}$.

Определить закон изменения тока и ЭДС самоиндукции в цепи. Определить практическую длительность переходного процесса и энергию магнитного поля при $t = 2\tau$. Схема цепи приведена на рис. 2.42.

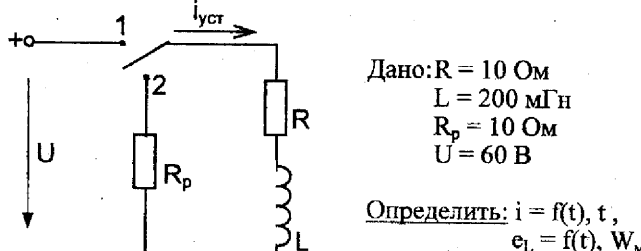


Рис. 2.42

1. Устанавливаем переключатели в положение 1 (подключение катушки к источнику постоянного напряжения).

До замыкания переключателя в положение 1 ток в цепи был равен нулю. В первый момент после замыкания переключателя в положение 1, т. е. в момент начала переходного процесса ($t = 0$), ток в цепи будет таким же, как и в последний момент до начала коммутации, т. е. $i_0 = 0$.

После коммутации ток стремится достичь величины установившегося тока (i_{yest}), но на основании первого закона коммутации изменяется не скачком, а постепенно.

Согласно схеме

$$i_{yest} = I = \frac{U}{R} = \frac{60}{10} = 6 \text{ А},$$

Чтобы найти закон изменения переходного тока, запишем уравнение в общем виде

$$i = i_{yest} + i_{cb} = i_{yest} + Ae^{\frac{-t}{\tau}}$$

В этой формуле

$$i_{cb} = Ae^{\frac{-t}{\tau}},$$

где i_{cb} – свободная составляющая тока;

A – постоянная интегрирования;

$e = 2,71$ – основание натурального логарифма;

τ – постоянная времени переходного процесса,

$\tau = \frac{L}{R}$, где R – величина сопротивления, через которое проходит переходный ток;

t – текущее время.

Определяем постоянную интегрирования, полагая $t = 0$, тогда урав-

нение $i = i_{yest} t + i_{cb} = i_{yest} t + Ae^{\frac{-t}{\tau}}$ примет вид:

$$i_0 = i_{yest} + A, \quad \text{т. к. } e^0 = 1$$

Значит, $A = i_0 - i_{yest} = 0 - I$,

то есть $A = -I$

Запишем уравнение (закон изменения переходного тока) при включении катушки

$$i = i_{yest} t + i_{cb} = i_{yest} t + Ae^{\frac{-t}{\tau}} = I - Ie^{\frac{-t}{\tau}} = I \cdot (1 - e^{\frac{-t}{\tau}});$$

$$\text{В нашем случае } i = 6 \cdot (1 - e^{\frac{-t}{\tau}});$$

Находим постоянную времени переходного процесса

$$\tau = \frac{L}{R} = \frac{200 \cdot 10^{-3}}{10} = \frac{0,2}{10} = 0,02 \text{ с}.$$

Практическая длительность переходного процесса

$$t = 5\tau = 5 \cdot 0,02 = 0,1 \text{ с}$$

Строим график переходного тока $i = f(t)$, задавшись моментом времени $t = 0$, $t = \tau$, $t = 2\tau$, $t = 3\tau$, $t = 4\tau$, $t = 5\tau$.

Значения переходного тока для заданных значений времени:

$$t = 0, i_0 = 6 \cdot (1 - e^{-\frac{0}{\tau}}) = 6 \cdot (1 - 1) = 0 \text{ A};$$

$$t = \tau, i_1 = 6 \cdot (1 - e^{-\frac{\tau}{\tau}}) = 6 \cdot (1 - e^{-1}) = 6 \cdot (1 - 0,367) = 3,79 \text{ A};$$

$$t = 2\tau, i_2 = 6 \cdot (1 - e^{-\frac{2\tau}{\tau}}) = 6 \cdot (1 - e^{-2}) = 6 \cdot (1 - 0,135) = 5,19 \text{ A};$$

$$t = 3\tau, i_3 = 6 \cdot (1 - e^{-\frac{3\tau}{\tau}}) = 6 \cdot (1 - e^{-3}) = 6 \cdot (1 - 0,049) = 5,70 \text{ A};$$

$$t = 4\tau, i_4 = 6 \cdot (1 - e^{-\frac{4\tau}{\tau}}) = 6 \cdot (1 - e^{-4}) = 6 \cdot (1 - 0,018) = 5,89 \text{ A};$$

$$t = 5\tau, i_5 = 6 \cdot (1 - e^{-\frac{5\tau}{\tau}}) = 6 \cdot (1 - e^{-5}) = 6 \cdot (1 - 0,007) = 5,96 \text{ A}$$

Строим график $i = f(t)$

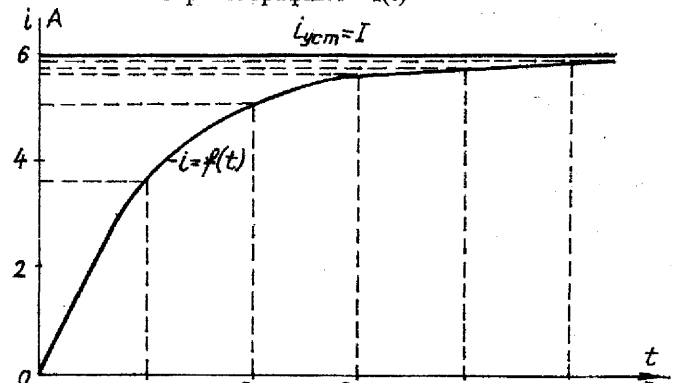


Рис. 2.43

Закон изменения ЭДС самоиндукции можно получить из формулы

$$e_L = -L \frac{di}{dt} = -L \frac{d}{dt}(I - I e^{-\frac{t}{\tau}}) = -I \cdot L \cdot \frac{1}{\tau} e^{-\frac{t}{\tau}} = -I \cdot L \cdot \frac{1}{L/R} e^{-\frac{t}{\tau}} = -I \cdot R \cdot e^{-\frac{t}{\tau}} = -U e^{-\frac{t}{\tau}}$$

В нашем случае $e_L = -60 e^{-\frac{t}{\tau}}$ В

Значения e для заданных значений времени следующие:

$$t = 0, e_0 = -60 \cdot e^0 = -60 \text{ В}$$

$$t = \tau, e_1 = -60 \cdot e^{-1} = -60 \cdot 0,367 = -22,02 \text{ В}$$

$$t = 2\tau, e_2 = -60 \cdot e^{-2} = -60 \cdot 0,135 = -8,1 \text{ В}$$

$$t = 3\tau, e_3 = -60 \cdot e^{-3} = -60 \cdot 0,049 = -2,94 \text{ В}$$

$$t = 4\tau, e_4 = -60 \cdot e^{-4} = -60 \cdot 0,018 = -1,08 \text{ В}$$

$$t = 5\tau, e_5 = -60 \cdot e^{-5} = -60 \cdot 0,007 = -0,42 \text{ В}$$

Строим график $e_L = f(t)$

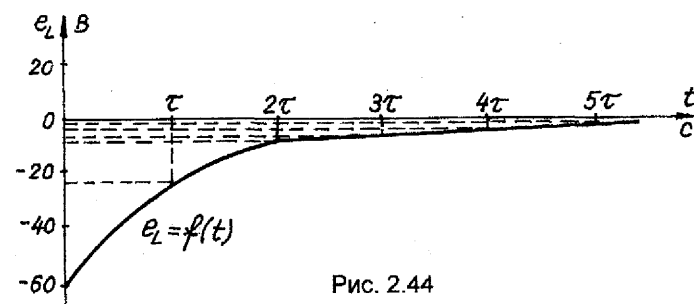


Рис. 2.44

Энергию магнитного поля при $t = 2\tau$ можно вычислить так:

$$W_m = \frac{L \cdot i_2^2}{2} = \frac{0,2 \cdot 5,19^2}{2} = 2,96 \text{ Дж}$$

2. Переключаем переключатель из положения 1 в положение 2 (отключаем катушку от источника постоянного напряжения при одновременном ее замыкании на сопротивление).

В этом случае мы отключаем цепь от источника и при переключении в положение 2 в образовавшемся контуре ток поддерживается за счет энергии, накопленной в магнитном поле катушки. Энергия магнитного поля непрерывно уменьшается, так как в активном сопротивлении контура идет необратимый процесс превращения электрической энергии в тепловую.

$$i = i_{ycr} + i_{cb} = i_{ycr} + Ae^{-\frac{t}{\tau}}$$

В этом случае $i_{ycr} = 0$, т. к. при отключении цепи от источника ток в цепи будет равен нулю.

$$\text{Тогда } i = Ae^{-\frac{t}{\tau}},$$

$$\text{где } t = \frac{L}{R + R_p} = \frac{0,2}{10 + 10} = \frac{0,2}{20} = 0,01 \text{ с} \text{ — постоянная времени переходного процесса.}$$

Определим постоянную интегрирования, полагая $t = 0$, тогда уравнение $i = Ae^{-\frac{t}{\tau}}$ примет вид:

$$i_0 = A \cdot e^0, \text{ т. е. } i_0 = A,$$

но $i_0 = \frac{U}{R} = \frac{60}{10} = 6 \text{ А}$ — согласно первому закону коммутации ток в первый момент коммутации будет таким, каким был в последний момент до коммутации.

Значит, $A = 6 \text{ A}$, тогда $i = 6 \cdot e^{-\frac{t}{\tau}} \text{ A}$.

Длительность переходного процесса
 $t = 5\tau = 5 \cdot 0,01 = 0,05 \text{ с}$

Строим график $i = f(t)$ (рис. 2.45), задавшись моментами времени $t = 0, t = \tau, 2\tau, 3\tau, 4\tau, 5\tau$. Данные расчета сведены в таблицу 2.3.1.

Таблица 2.3.1

$t, \text{с}$	0	τ	2τ	3τ	4τ	5τ
i, A	6	2,2	0,81	0,294	0,108	0,012

Строим график $i = f(t)$

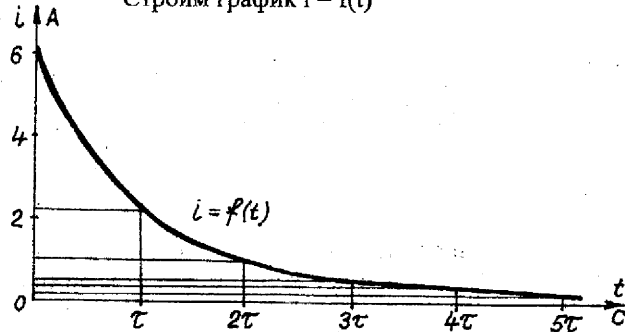


Рис. 2.45

В соответствии с законом изменения ЭДС самоиндукции получим

$$e_L = -L \frac{di}{dt} = -L \frac{d}{dt} (I e^{-\frac{t}{\tau}}) = I \cdot L \cdot \frac{1}{\tau} e^{-\frac{t}{\tau}} = U e^{-\frac{t}{\tau}}$$

В нашем случае

$$e_L = U e^{-\frac{t}{\tau}} = 60 \cdot e^{-\frac{t}{0.05}} \text{ В}$$

Строим график $e_L = f(t)$ (рис. 2.46), задавшись моментами времени $t = 0, \tau, 2\tau, 3\tau, 4\tau, 5\tau$. Данные расчета сведены в таблицу 2.3.2

Таблица 2.3.2

$t, \text{с}$	0	τ	2τ	3τ	4τ	5τ
$e_L, \text{В}$	60	22,02	8,1	2,94	1,08	0,42

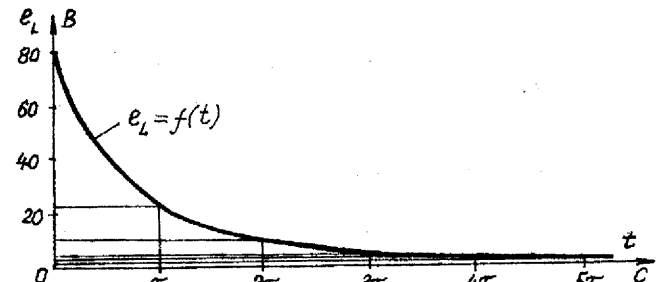
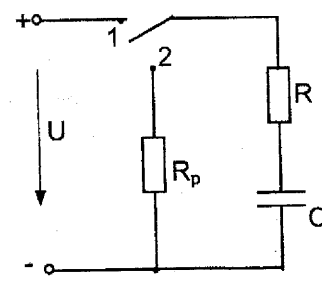


Рис. 2.46

2.6.2. Методика исследования переходных процессов в электрических цепях, содержащих конденсатор и сопротивление

Цепь с последовательно включенными конденсатором емкостью $C = 10 \text{ мкФ}$ и сопротивлением $R = 2 \text{ МОм}$ подсоединеняется к источнику постоянного напряжения $U = 50 \text{ В}$ (переключатель в положении 1). Определить законы изменения переходных напряжений и тока при заряде конденсатора и построить их графики. Затем цепь отключается от источника и одновременно переключатель переводится в положение 2, $R_p = 8 \text{ МОм}$. Определить законы изменения переходных напряжений и тока при разряде конденсатора и построить их графики. Определить практическую длительность заряда и разряда конденсатора и энергию электрического поля при $t = 3\tau$. Схема цепи приведена на рис. 2.47.



Дано: $R = 2 \text{ МОм}$
 $C = 10 \text{ мкФ}$
 $R_p = 8 \text{ МОм}$
 $U = 50 \text{ В}$

Определить:
 $i = f(t), t,$
 $u_c = f(t), W_3$

1. Переключатель в положении 1 (заряд конденсатора).
Быстрота заряда конденсатора зависит от параметров цепи и характеризуется постоянной времени заряда конденсатора.

$$\tau = R \cdot C = 2 \cdot 10^6 \cdot 10 \cdot 10^{-6} = 20 \text{ с}$$

На основании второго закона коммутации получены законы, характеризующие напряжение и ток при заряде конденсатора:

$$u_c = u_{yc} + u_{cb} = U - U e^{-\frac{t}{\tau}} = U \cdot (1 - e^{-\frac{t}{\tau}});$$

$$i = i_{cb} = \frac{U}{R} e^{-\frac{t}{\tau}} = I e^{-\frac{t}{\tau}},$$

где U – напряжение источника,

$u_{yc} = U$ – установившееся значение напряжения при заряде конденсатора.

$u_{cb} = -U e^{-\frac{t}{\tau}}$ – свободная составляющая напряжения при заряде конденсатора.

Зарядный ток равен свободной составляющей, т. к. ток установившегося режима равен 0 ($i_{yc} = 0$).

Длительность заряда конденсатора

$$t = 5\tau = 5 \cdot 20 = 100 \text{ с}$$

Вычислим значения напряжения на конденсаторе при его заряде для значений времени $t = 0, \tau, 2\tau, 3\tau, 4\tau, 5\tau$.

$$t = 0, \quad u_{c0} = U \cdot (1 - e^0) = 50 \cdot (1 - 1) = 0 \text{ В}$$

$$t = \tau, \quad U_{c1} = U \cdot (1 - e^{-1}) = 50 \cdot (1 - 0,367) = 31,6 \text{ В}$$

$$t = 2\tau, \quad U_{c2} = U \cdot (1 - e^{-2}) = 50 \cdot (1 - 0,135) = 43,23 \text{ В}$$

$$t = 3\tau, \quad U_{c3} = U \cdot (1 - e^{-3}) = 50 \cdot (1 - 0,049) = 47,51 \text{ В}$$

$$t = 4\tau, \quad U_{c4} = U \cdot (1 - e^{-4}) = 50 \cdot (1 - 0,018) = 49,08 \text{ В}$$

$$t = 5\tau, \quad U_{c5} = U \cdot (1 - e^{-5}) = 50 \cdot (1 - 0,007) = 49,66 \text{ В}$$

Аналогично вычисляем значения зарядного тока согласно закону изменения переходного тока при заряде конденсатора для значений времени $t = 0, \tau, 2\tau, 3\tau, 4\tau, 5\tau$. Данные расчета сведены в таблицу 2.3.3.

Таблица 2.3.3

$t, \text{ с}$	0	τ	2τ	3τ	4τ	5τ
$i, \text{ мкА}$	25	9,19	3,38	1,24	0,46	0,17

Согласно полученным результатам строим графики зарядного напряжения и тока в зависимости от t (рис. 2.48).

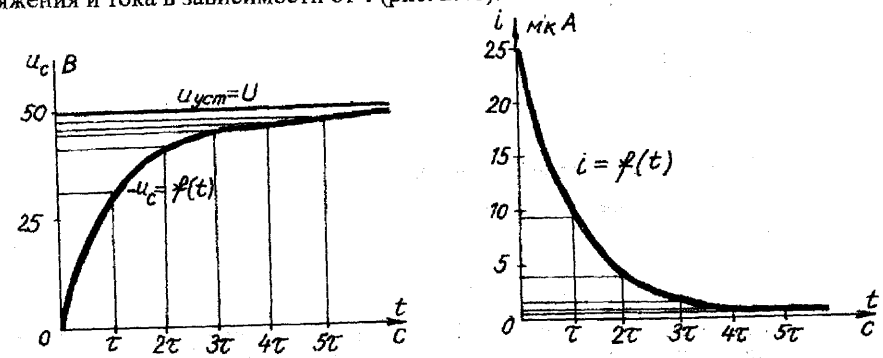


Рис. 2.48

Из построенных графиков $u_c(t)$ и $i(t)$ можно для любого момента времени определить значения u_c и i , а также рассчитать запасенную энергию в электрическом поле заряженного конденсатора.

Например, при $t = 3\tau$

$$W_E = \frac{C \cdot u_{c3}^2}{2} = \frac{10 \cdot 10^{-6} \cdot 47,51^2}{2} = 1128,6 \cdot 10^{-4} \text{ Дж} \approx 0,113 \text{ Дж}$$

2. Переключатель в положении 2 (конденсатор разряжается через сопротивления R и R_p).

Быстрота разряда конденсатора также зависит от параметров цепи и характеризуется постоянной времени разряда конденсатора.

$$\tau = (R + R_p) \cdot C = (2 \cdot 10^6 + 8 \cdot 10^6) \cdot 10 \cdot 10^{-6} = 10 \cdot 10^6 \cdot 10 \cdot 10^{-6} = 100 \text{ с}$$

На основании второго закона коммутации получены законы, характеризующие напряжение и ток при разряде конденсатора:

$$u_c = u_{cb} = U e^{-\frac{t}{\tau}}$$

$$i = i_{cb} = -\frac{U}{R + R_p} e^{-\frac{t}{\tau}} = -I e^{-\frac{t}{\tau}},$$

где U – напряжение заряженного конденсатора до начала разряда.

Разрядные напряжения и ток равны их свободным составляющим, т. к. напряжение и ток установившегося режима после разряда равны 0 ($u_{cyc} = 0, i_{yc} = 0$).

Длительность разряда конденсатора

$$t = 5\tau = 100 \cdot 5 = 500 \text{ с}$$

Вычислим значения напряжения на конденсаторе при его разряде для значений времени $t = 0, \tau, 2\tau, 3\tau, 4\tau, 5\tau$.

$$t = 0, u_{c0} = U e^{-\frac{0}{\tau}} = 50 e^0 = 50 \text{ В};$$

$$t = \tau, u_{c1} = U e^{-\frac{\tau}{\tau}} = 50 e^{-1} = 18,39 \text{ В};$$

$$t = 2\tau, u_{c2} = U e^{-\frac{2\tau}{\tau}} = 50 e^{-2} = 6,77 \text{ В};$$

$$t = 3\tau, u_{c3} = U e^{-\frac{3\tau}{\tau}} = 50 e^{-3} = 2,49 \text{ В};$$

$$t = 4\tau, u_{c4} = U e^{-\frac{4\tau}{\tau}} = 50 e^{-4} = 0,92 \text{ В};$$

$$t = 5\tau, u_{c5} = U e^{-\frac{5\tau}{\tau}} = 50 e^{-5} = 0,34 \text{ В.}$$

Аналогично вычислим значения разрядного тока согласно закону изменения переходного тока при разряде конденсатора для тех же значений времени

$$i = -\frac{U}{R + R_p} e^{-\frac{t}{\tau}} = -\frac{50}{10 \cdot 10^6} e^{-\frac{t}{\tau}} = -5 \cdot 10^{-6} e^{-\frac{t}{\tau}} \text{ А}$$

Знак “-“ говорит о том, что разрядный ток имеет обратное направление зарядному.

$$t = 0, i_0 = -5 \cdot 10^{-6} \cdot e^{-\frac{0}{\tau}} = -5 \cdot 10^{-6} \cdot e^0 = -5 \cdot 10^{-6} \text{ А} = -5 \text{ мкА};$$

$$t = \tau, i_1 = -5 \cdot 10^{-6} \cdot e^{-\frac{\tau}{\tau}} = -5 \cdot 10^{-6} \cdot e^{-1} = -1,84 \cdot 10^{-6} \text{ А} = -1,84 \text{ мкА};$$

$$t = 2\tau, i_2 = -5 \cdot 10^{-6} \cdot e^{-\frac{2\tau}{\tau}} = -5 \cdot 10^{-6} \cdot 0,135 = -0,68 \cdot 10^{-6} \text{ А} = -0,68 \text{ мкА};$$

$$t = 3\tau, i_3 = -5 \cdot 10^{-6} \cdot e^{-\frac{3\tau}{\tau}} = -5 \cdot 10^{-6} \cdot 0,049 = -0,25 \cdot 10^{-6} \text{ А} = -0,25 \text{ мкА};$$

$$t = 4\tau, i_4 = -5 \cdot 10^{-6} \cdot e^{-\frac{4\tau}{\tau}} = -5 \cdot 10^{-6} \cdot 0,018 = -0,092 \cdot 10^{-6} \text{ А} = -0,092 \text{ мкА};$$

$$t = 5\tau, i_5 = -5 \cdot 10^{-6} \cdot e^{-\frac{5\tau}{\tau}} = -5 \cdot 10^{-6} \cdot 0,007 = -0,034 \cdot 10^{-6} \text{ А} = -0,034 \text{ мкА}$$

Согласно полученным расчетам строим графики разрядного напряжения и тока в зависимости от t (рис. 2.49).

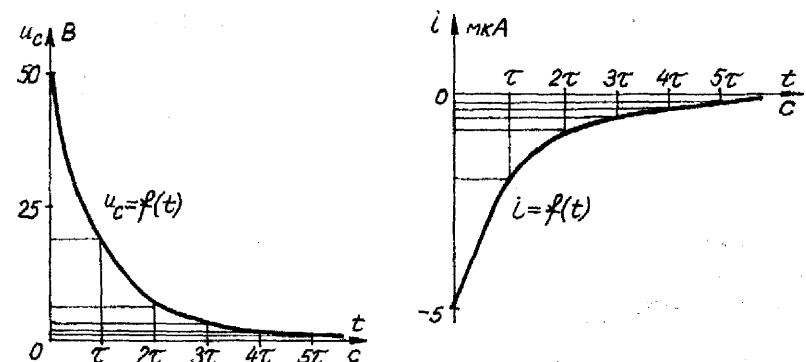


Рис. 2.49

Энергия электрического поля конденсатора в момент времени $t = 3\tau$

$$W_C = \frac{C \cdot u_{c3}^2}{2} = \frac{10 \cdot 10^{-6} \cdot 2,49^2}{2} = 31 \cdot 10^{-6} \text{ Дж.}$$

4. РЕКОМЕНДАЦИИ К ИСПОЛЬЗОВАНИЮ ПРОГРАММ ДЛЯ ЭВМ

Каждая задача из приведенных контрольных заданий, кроме задания 1.2, может быть решена с помощью ЭВМ. Для этого приведено десять программ, которые могут быть введены в ЭВМ пользователем самостоятельно перед выполнением соответствующего задания.

В программе использованы операторы, встречающиеся во всех версиях языка программирования БЕЙСИК.

Приводятся программы в виде распечатки листингов, что исключает возможность типографских ошибок. Однако после ввода программ в ЭВМ необходимо тщательно проверить их по контрольным примерам.

Программы содержат детальный диалог с пользователем, поэтому подробное описание правил пользователя каждой программой не приводится.

Наименование программы дается в первой строке листинга.

Все эти программы имеются в банке программ для ЭВМ на кафедре теоретических основ электротехники БГПА.

По дополнительным заказам кафедра теоретических основ электротехники может представить указанные программы или их усовершенствованные версии на гибких магнитных дисках заинтересованным лицам или организациям.

ЛИТЕРАТУРА

- Атабеков Г. И. Теоретические основы электротехники. – М., 1978.
- Буртаев Ю. В., Овсянников П. Н. Теоретические основы электротехники. – М., 1984.
- Государственные стандарты Республики Беларусь.
- Данилов И. А., Иванов П. М. Общая электротехника с основами электроники. – М., 1989.
- Евлокимов Ф. Е. Теоретические основы электротехники. – М., 1981.
- Зайчик М. Ю. Сборник задач и упражнений по теоретической электротехнике. – М., 1989.
- Мельников А. К. Сборник контрольных заданий и программ для решения задач с использованием ЭВМ по теоретическим основам электротехники. – Мн., 1992.
- Попов В. С. Теоретическая электротехника. – М., 1978.
- Частоедов Л. А. Электротехника. – М., 1989.
- Шебес М. О. Сборник задач по теории электрических цепей. – М., 1982.

ОГЛАВЛЕНИЕ

Предисловие	3
1. Анализ электрического состояния линейных и нелинейных электрических цепей постоянного тока	5
1.1. Расчет линейных электрических цепей постоянного тока (задание)	5
1.2. Расчет нелинейных электрических цепей постоянного тока (задание)	11
1.3. Методика расчета линейных электрических цепей постоянного тока	13
1.4. Методика расчета нелинейных электрических цепей постоянного тока	21
2. Анализ электрического состояния линейных электрических цепей переменного тока: однофазных, трехфазных. Исследование переходных процессов в электрических цепях.	24
2.1. Расчет однофазных линейных электрических цепей переменного тока (задание)	24
2.2. Расчет трехфазных линейных электрических цепей переменного тока (задание)	30
2.3. Исследование переходных процессов в электрических цепях (задание)	31
2.4. Методика расчета однофазных линейных электрических цепей переменного тока	32
2.5. Методика расчета трехфазных электрических цепей переменного тока	38
2.5.1. Методика расчета трехфазных электрических цепей переменного тока при соединении потребителей звездой	38
2.5.2. Методика расчета трехфазных электрических цепей переменного тока при соединении треугольником	42
2.6. Методика исследования переходных процессов в электрических цепях	46
2.6.1. Методика исследования переходных процессов в электрических цепях, содержащих катушку индуктивности	46
2.6.2. Методика исследования переходных процессов в электрических цепях, содержащих конденсатор и сопротивление	51
Рекомендации к использованию программ для ЭВМ	55
Программы для решения задач на ЭВМ	56
Литература	66

Учебное издание

Гилицкая Лидия Николаевна

ТЕОРЕТИЧЕСКИЕ ОСНОВЫ ЭЛЕКТРОТЕХНИКИ

Курсовое проектирование

Редактор *E. E. Соколова*

Ответственный за выпуск *A. И. Новиков*

Технический редактор *Д. Л. Малиновский*

Корректор *P. Л. Карчик*

Подписано в печать 17.12.97. Формат 60x84/16.

Бумага офсетная. Печать офсетная.

Усл. печ. л. 3,96. Уч.-изд. л. 3,27.

Тираж 1700 экз. Заказ 237. Код 203.

Республиканский институт профессионального образования.

Лицензия ЛВ № 54 от 29.10.97.

220004, г. Минск, ул. К. Либкнехта, 32.